

# **TRANSFORMADA DE FOURIER**

**PROF. VALMIR MACARIO FILHO**



# INTRODUÇÃO

## BREVE HISTÓRIA DAS SÉRIES E TRANSFORMADAS DE FOURIER

O matemático francês Jean Baptiste Joseph Fourier nasceu em 1768.

Fourier é lembrado pela teoria desenvolvida em 1807 e publicada em 1822 no livro, La Théorie Analytique de la Chaleur (A Teoria Analítica do Calor).

# INTRODUÇÃO

- **Série de Fourier:** qualquer função periódica pode ser expressa como uma soma de senos e/ou cossenos de diferentes frequências. Cada uma multiplicada por um coeficiente diferente.
- **Transformada de Fourier:** funções não periódicas, mas cuja área sob a curva é finita, podem ser expressas como integral de senos e /ou cossenos multiplicados por uma função peso.
- Podem ser reconstruídas completamente usando um processo inverso.

# CONCEITOS PREMILINARES

**Números complexos:**

$$C = R + Ij$$

**onde  $R$  e  $I$  são números reais e  $j$  é um número imaginário igual a raiz quadrada de  $-1$ , ou seja,**

$$j = \sqrt{-1}$$

**Números complexos em coordenadas polares:**

$$C = |C|(\cos \theta + j \sin \theta)$$

**onde**

$$|C| = \sqrt{R^2 + I^2}$$

# FUNÇÃO SENO E COSSENO

- $f(x) = \cos(x)$
- Valor 1 na origem ( $\cos(0)=1$ ) e completa um ciclo entre a origem e o ponto  $2\pi$
- Função periódica com (período)  $T = 2\pi$
- Ex:  $\cos(x) = \cos(x + 2\pi) = \cos(x + 4\pi) = \dots = \cos(x + k2\pi)$
- O mesmo se aplica a função seno, exceto que a origem possui valor 0 ( $\sin(0)=0$ )

# FUNÇÃO SENO E COSSENO

- O número de oscilações de  $\cos(x)$  sobre a distância  $T = 2\pi$  é um e assim, o valor da frequência angular é:

$$\omega = \frac{2\pi}{T} = 1$$

- A função  $\cos(3x)$  executa 3 ciclos sobre o período  $2\pi$  e possui o valor angular  $\omega = 3$
- O Valor do período  $T$  relacionado com o ângulo  $\omega$  é:

$$T = \frac{2\pi}{\omega}$$

# FUNÇÃO SENO E COSSENO

- As funções seno e cosseno possuem amplitude igual a 1
- Multiplicando por uma constante  $a \in \mathbb{R}$  troca os valores das funções para  $\pm a$  e *amplitude*  $a$ .
  - $a \cdot \cos(\omega x)$
  - $a \cdot \sin(\omega x)$
- A Frequência  $f$  é igual:

$$f = \frac{1}{T} = \frac{\omega}{2\pi} \quad \text{or} \quad \omega = 2\pi f$$

# FUNÇÃO SENO E COSSENO

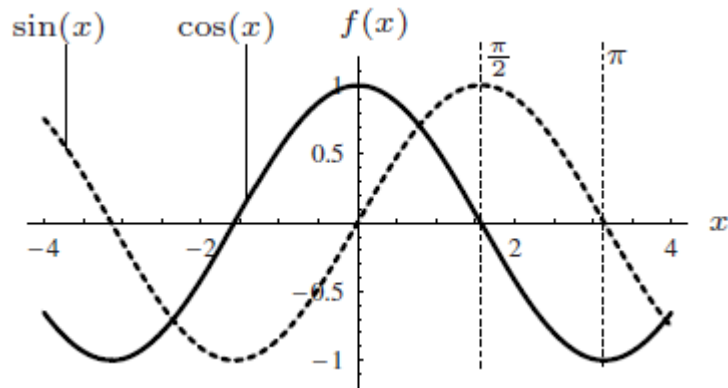
- **Fase:**
  - Deslocamento de uma função cosseno sobre o eixo x por uma distância  $\phi$  (ângulo de fase)
  - $\cos(x) \rightarrow \cos(x - \phi)$
  - A função seno é apenas uma função cosseno deslocada para a direita por período  $\phi = \pi/2$

$$\sin(\omega x) = \cos\left(\omega x - \frac{\pi}{2}\right)$$

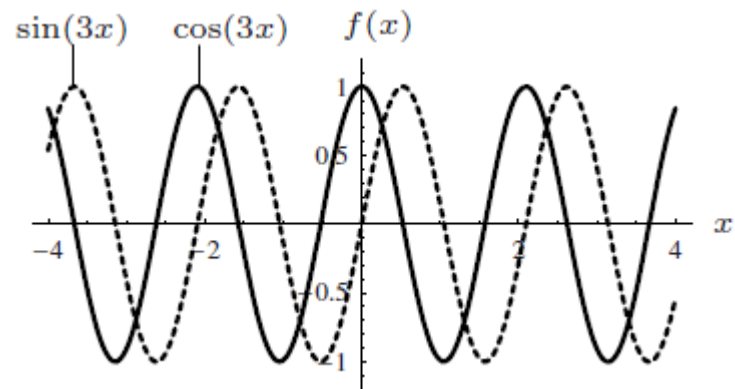


# FUNÇÃO SENO E COSSENO

- Funções seno e cosseno



- Função Seno e Cosseno  
com período  $T=2\pi/\omega$



# NOTAÇÃO DE EULER

- Representação do número complexo:

$$z = a + i b$$

- Notação de Euler:

$$z = e^{i\theta} = \cos(\theta) + i \cdot \sin(\theta)$$

- $e = 2.71828$  (número de euler)

# SÉRIE DE FOURIER

$$g(x) = \sum_{k=0}^{\infty} (A_k \cos(k\omega_0 x) + B_k \sin(k\omega_0 x))$$

- As constantes  $A_k$  e  $B_k$  são chamados de coeficientes de Fourier da função  $g(x)$
- Os coeficientes  $A_k$  e  $B_k$  podem ser derivados da função  $g(x)$

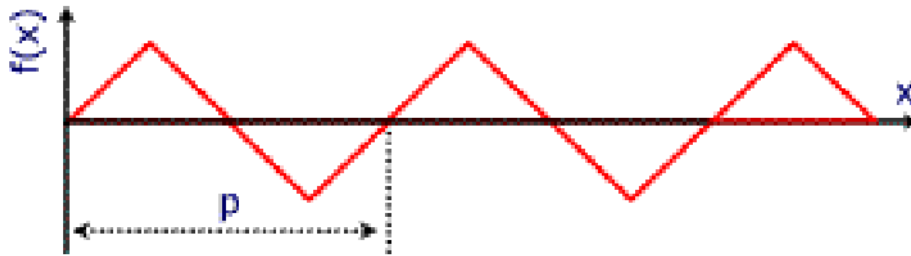
# SÉRIE DE FOURIER

$$g(x) = \int_0^{\infty} A_{\omega} \cos(\omega x) + B_{\omega} \sin(\omega x) d\omega$$

- Os coeficientes  $A_k$  e  $B_k$  são os pesos das funções seno e cosseno respectivamente com a frequência contínua  $\omega$
- Assim,  $A_k$  e  $B_k$  correspondem à amplitude das funções seno e cosseno correspondentes

# ENTENDENDO A SÉRIE DE FOURIER

- Uma função  $f(x)$  é dita periódica de período  $T$  se  $f(x)=f(x+nT)$  para qualquer  $n$  positivo



- Seja  $f(x)$  uma função periódica de período 2. A série de fourier para esta função é a representação em forma de uma soma infinita de senos e cossenos:

$$f(x) = a_0/2 + \sum_{k=1,\infty} a_k \cos kx + \sum_{k=1,\infty} b_k \sin kx$$

- ou

$$f(x) = a_0/2 + a_1 \cos x + a_2 \cos 2x + \dots + b_1 \sin x + b_2 \sin 2x + \dots$$

# ENTENDENDO A SÉRIE DE FOURIER

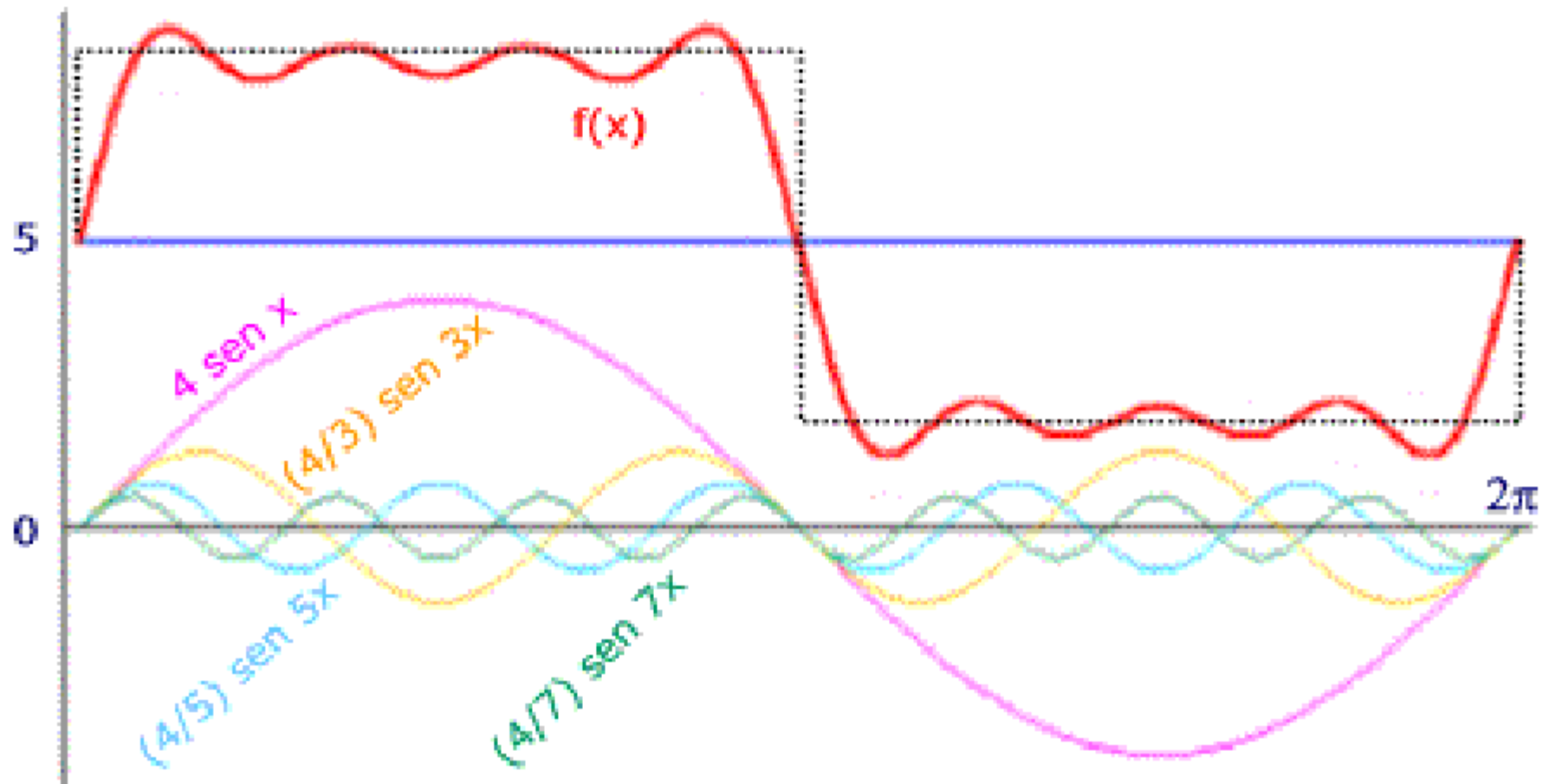
**Exemplo:**

- Na prática, não é possível trabalhar com infinitas parcelas e um número possível deve ser empregado. O exemplo da Figura do próximo slide, a curva vermelha é uma função resultante de:

$$f(x) = 5 + 4 \sin x + (4/3) \sin 3x + (4/5) \sin 5x + (4/7) \sin 7x + \dots$$

- (apenas com 5 parcelas da equação)
- Notar que com 5 parcelas já ocorre uma aproximação. Se fossem infinitas, o resultado seria uma forma perfeita conforme indicado na linha tracejada.

# ENTENDENDO A SÉRIE DE FOURIER



# ENTENDENDO A SÉRIE DE FOURIER

- A primeira parcela (5) é constante
- A segunda parcela ( $4 \sin(x)$ ) tem o mesmo período ou mesma frequência do sinal. Por esta igualdade, é chamada de oscilação fundamental do sinal
- As parcelas seguintes têm frequências múltiplas ( $\sin(3x)$ ,  $\sin(5x)$ , ...) da fundamental. São chamadas oscilações harmônicas ou simplesmente harmônicos do sinal
- Portanto, pode-se dizer que todo sinal periódico é formado por um componente contínuo (que pode ser nulo), uma oscilação fundamental e oscilações harmônicas. Um sinal senoidal puro somente tem a oscilação fundamental



# ENTENDENDO A SÉRIE DE FOURIER

- Os pesos atribuídos constituem o espectro de Fourier:
- Este espectro estende-se (em princípio) para o infinito e qualquer sinal pode ser reproduzido com precisão arbitrária. Assim, o espectro de Fourier é uma representação completa e válida, a alternativa do sinal.

$$A_{\omega} = A(\omega) = \frac{1}{\pi} \int_{-\infty}^{\infty} g(x) \cdot \cos(\omega x) \, dx$$

$$B_{\omega} = B(\omega) = \frac{1}{\pi} \int_{-\infty}^{\infty} g(x) \cdot \sin(\omega x) \, dx$$

# TRANSFORMADA DE FOURIER

- A transformada de Fourier  $G(x)$  trata ambos sinais: original e espectro:

$$\begin{aligned} G(\omega) &= \frac{1}{\sqrt{2\pi}} \int_{-\infty}^{\infty} g(x) \cdot [\cos(\omega x) - i \cdot \sin(\omega x)] dx \\ &= \frac{1}{\sqrt{2\pi}} \int_{-\infty}^{\infty} g(x) \cdot e^{-i\omega x} dx. \end{aligned}$$

- Onde  $g(x)$  é uma função contínua
- $i$ =número complexo
- A integral mostra que  $G(x)$  é composta por uma soma infinita de termos seno e cosseno.

# TRANSFORMADA DE FOURIER

A função original pode ser reconstruída pela transformada inversa  $G(x)^{-1}$ :

$$\begin{aligned} g(x) &= \frac{1}{\sqrt{2\pi}} \int_{-\infty}^{\infty} G(\omega) \cdot [\cos(\omega x) + i \cdot \sin(\omega x)] d\omega \\ &= \frac{1}{\sqrt{2\pi}} \int_{-\infty}^{\infty} G(\omega) \cdot e^{i\omega x} d\omega. \end{aligned}$$

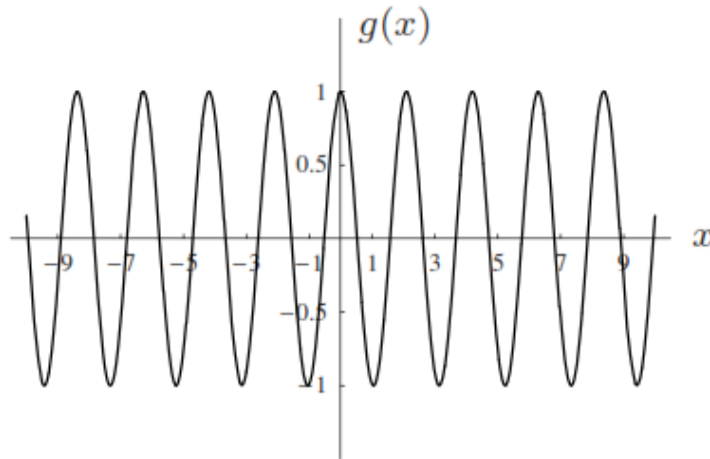
As equações  $G(x)$  e  $g(x)$  são chamadas de par de transformada de Fourier

# TRANSFORMADA DE FOURIER

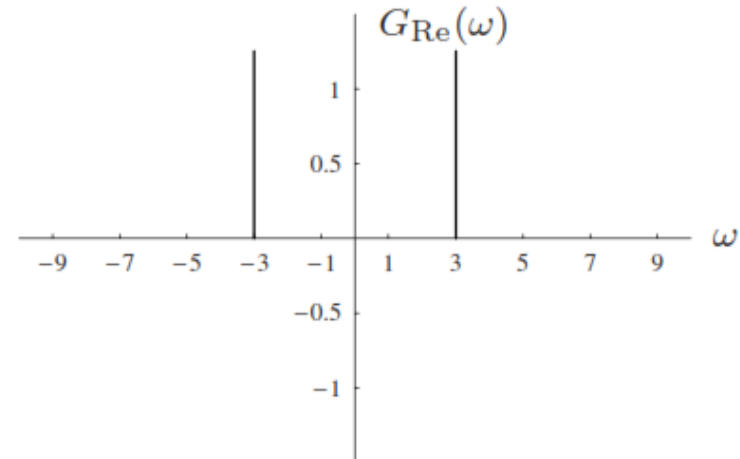
Par da transformada de Fourier:

<i>Function</i>	<i>Transform Pair</i> $g(x) \circ \bullet G(\omega)$	<i>Figure</i>
<b>Cosine</b> function with frequency $\omega_0$	$g(x) = \cos(\omega_0 x)$ $G(\omega) = \sqrt{\frac{\pi}{2}} \cdot (\delta(\omega + \omega_0) + \delta(\omega - \omega_0))$	7.3 (a, c)
<b>Sine</b> function with frequency $\omega_0$	$g(x) = \sin(\omega_0 x)$ $G(\omega) = i\sqrt{\frac{\pi}{2}} \cdot (\delta(\omega + \omega_0) - \delta(\omega - \omega_0))$	7.3 (b, d)
<b>Gaussian</b> function of width $\sigma$	$g(x) = \frac{1}{\sigma} \cdot e^{-\frac{x^2}{2\sigma^2}}$ $G(\omega) = e^{-\frac{\sigma^2 \omega^2}{2}}$	7.4 (a, b)
<b>Rectangular pulse</b> of width $2b$	$g(x) = \Pi_b(x) = \begin{cases} 1 & \text{for }  x  \leq b \\ 0 & \text{otherwise} \end{cases}$ $G(\omega) = \frac{2b \sin(b\omega)}{\sqrt{2\pi}\omega}$	7.4 (c, d)

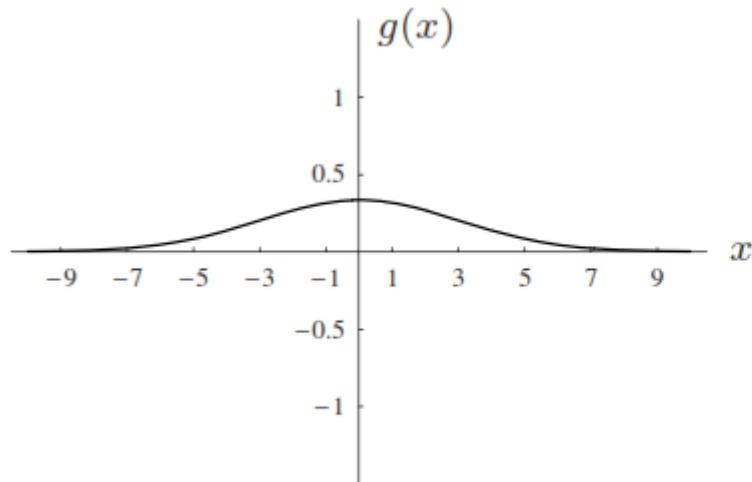
# TRANSFORMADA DE FOURIER



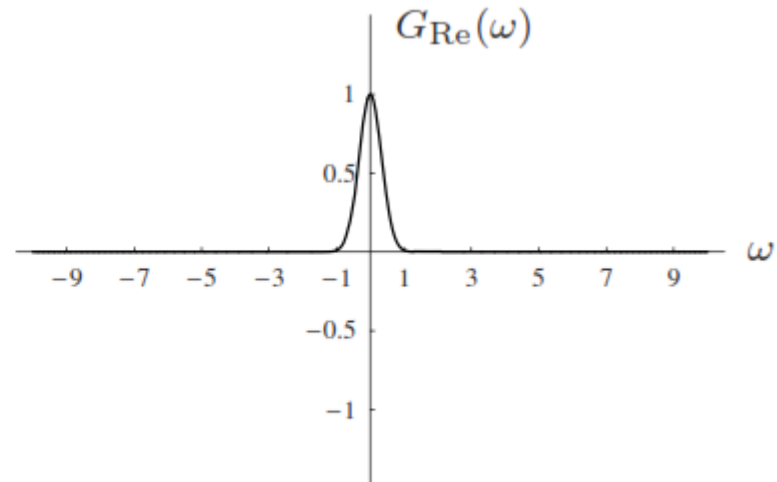
(a) cosine ( $\omega_0=3$ ):  $g(x) = \cos(3x)$



○●  $G(\omega) = \sqrt{\frac{\pi}{2}} \cdot (\delta(\omega+3) + \delta(\omega-3))$



) Gaussian ( $\sigma=3$ ):  $g(x) = \frac{1}{3} \cdot e^{-\frac{x^2}{2 \cdot 9}}$



○●  $G(\omega) = e^{-\frac{9\omega^2}{2}}$

# TRANSFORMADA DE FOURIER

- Espectro de Fourier:

$$|F(u)| = [R^2(u) + I^2(u)]^{1/2}$$

- Fase

$$\phi(u) = \tan^{-1} \left[ \frac{I(u)}{R(u)} \right]$$

- Espectro de potência:

$$P(u) = |F(u)|^2 = R^2(u) + I^2(u)$$

# DISCRETIZAÇÃO

- **Função impulso contínua:**

$$\delta(x) = 0 \text{ for } x \neq 0 \quad \text{and} \quad \int_{-\infty}^{\infty} \delta(x) \, dx = 1$$

- **Função impulso discreta:**

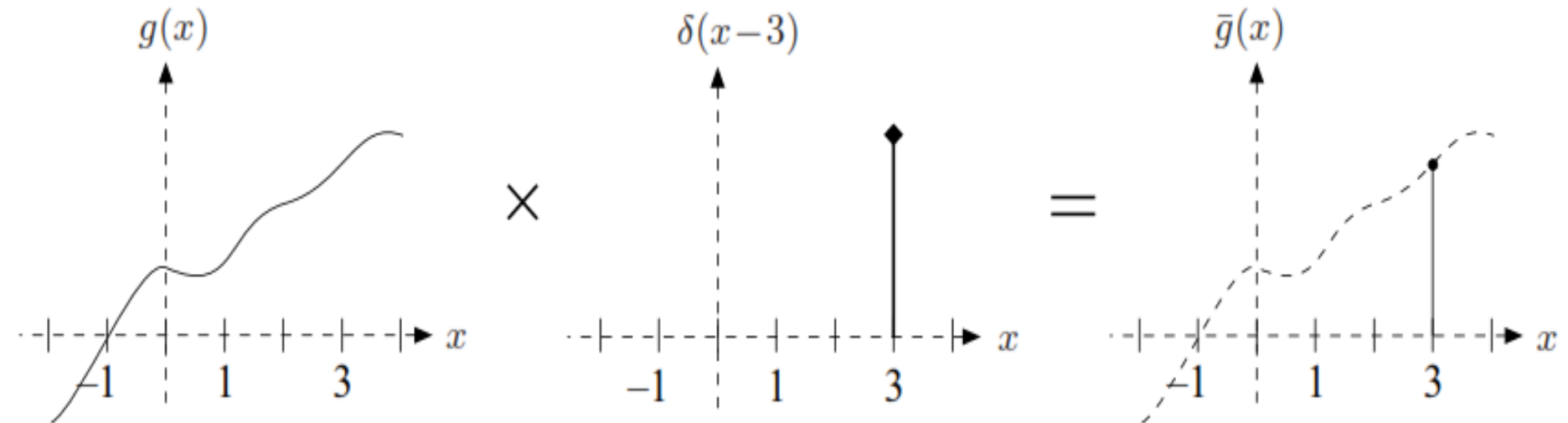
$$\bar{g}(x) = g(x) \cdot \delta(x) = \begin{cases} g(0) & \text{for } x = 0 \\ 0 & \text{otherwise.} \end{cases}$$

- **Função impulso deslocada de  $x_0$ :**

$$\bar{g}(x) = g(x) \cdot \delta(x - x_0) = \begin{cases} g(x_0) & \text{for } x = x_0 \\ 0 & \text{otherwise.} \end{cases}$$

# DISCRETIZAÇÃO

- A função impulso é discretizada na posição  $x_0=3$  multiplicando  $g(x)$  por uma função impulso  $f(x-3)$



- Para várias parcelas  $X_i=1,2,3,..N$  a função pode ser descrita como a soma das parcelas individuais

$$\begin{aligned}\bar{g}(x) &= g(x) \cdot [\delta(x-1) + \delta(x-2) + \dots + \delta(x-N)] \\ &= g(x) \cdot \sum_{i=1}^N \delta(x-i).\end{aligned}$$

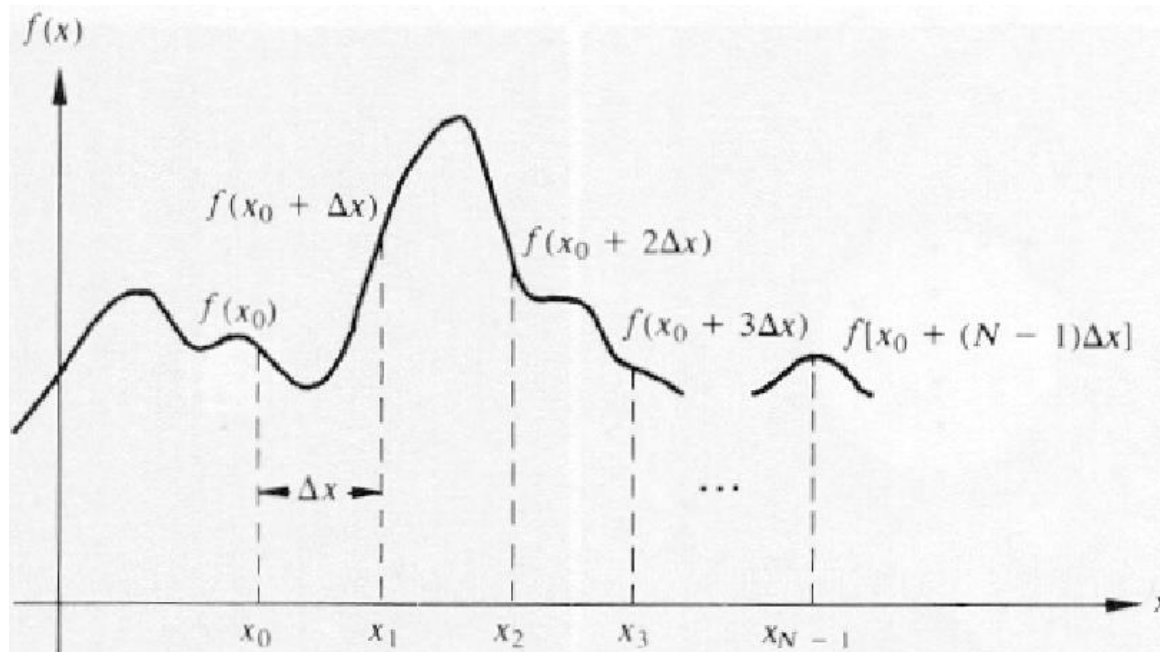


# TRANSFORMADA DISCRETA DE FOURIER (DFT)

- Uma função contínua  $f(x)$  pode ser discretizada na sequência:

$$\{f(x_0), f(x_0 + \Delta x), f(x_0 + 2\Delta x), \dots, f(x_0 + [N - 1]\Delta x)\}$$

- Tomando  $N$  amostras de  $X$  unidades:



# TRANSFORMADA DISCRETA DE FOURIER (DFT)

- Onde  $x$  assume os valores discretos  $(0,1,2,3,...,M-1)$  então

$$f(x) = f(x_0 + x\Delta x)$$

- A sequência  $\{f(0),f(1),...,f(M-1)\}$  denota qualquer amostragem de  $N$  valores uniformemente espaçados de uma função contínua correspondente

# TRANSFORMADA DE FOURIER

- Transformada de Fourier:

$$\mathfrak{F}\{f(x)\} = F(u) = \int_{-\infty}^{\infty} f(x) \cdot e^{-j2\pi ux} dx$$

- Inversa da Transformada de Fourier:

$$\mathfrak{F}^{-1}\{F(u)\} = f(x) = \int_{-\infty}^{\infty} F(u) \cdot e^{j2\pi ux} du$$

# TRANSFORMADA DISCRETA DE FOURIER (DFT)

O par de transformadas discretas de Fourier é

$$F(u) = \frac{1}{N} \sum_{x=0}^{N-1} f(x) \exp[-j2\pi ux / N]$$

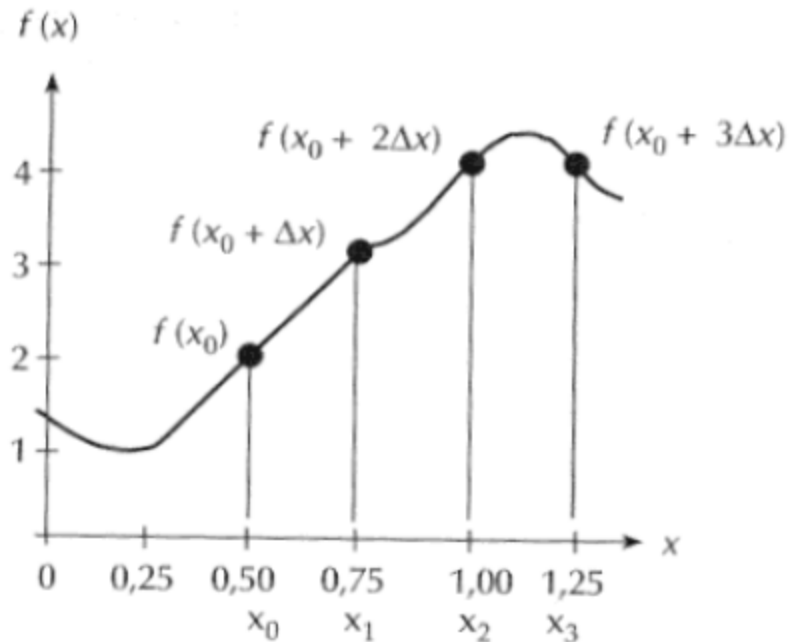
Para  $u = 0, 1, 2, \dots, N-1$

$$f(x) = \sum_{u=0}^{N-1} F(u) \exp[j2\pi ux / N]$$

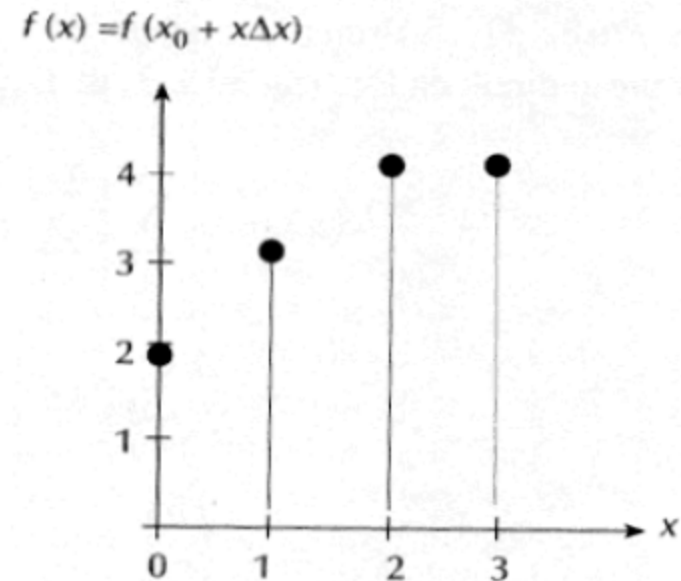
Para  $x = 0, 1, 2, \dots, N-1$

# TRANSFORMADA DISCRETA DE FOURIER (DFT)

Função contínua 1-D amostrada:



Função discreta :



$$F(u) = \frac{1}{N} \sum_{x=0}^{N-1} f(x) \exp[-j2\pi ux/N]$$

$$f(0) = 2$$

$$f(1) = 3$$

$$f(2) = 4$$

$$f(3) = 4$$

# EXEMPLO

$$F(u) = \frac{1}{N} \sum_{x=0}^{N-1} f(x) \exp[-j2\pi ux / N]$$

$$F(1) = \frac{1}{4} \sum_{x=0}^3 f(x) \exp[-j2\pi x / 4]$$

$$= \frac{1}{4} [2e^0 + 3e^{-j\pi/2} + 4e^{-j\pi} + 4e^{-j3\pi/2}]$$

$$= \frac{1}{4} \left[ 2 + 3\left(\cos\frac{\pi}{2} - j\sin\frac{\pi}{2}\right) + 4(\cos\pi - j\sin\pi) + 4\left(\cos\frac{3\pi}{2} - j\sin\frac{3\pi}{2}\right) \right]$$

$$= \frac{1}{4} [2 + 3(0 - j) + 4(-1 - j0) + 4(0 - j(-1))] ]$$

$$= \frac{1}{4} [2 - 3j - 4 + 4j]$$

$$= \frac{1}{4} (-2 + j)$$

$$\begin{aligned} F(0) &= \frac{1}{4} \sum_{x=0}^3 f(x) \exp[0] \\ &= \frac{1}{4} [f(0) + f(1) + f(2) + f(3)] \\ &= \frac{1}{4} [2 + 3 + 4 + 4] = 3,25 \end{aligned}$$

$$F(2) = -\frac{1}{4}$$

$$F(3) = -\frac{1}{4} [2 + j]$$

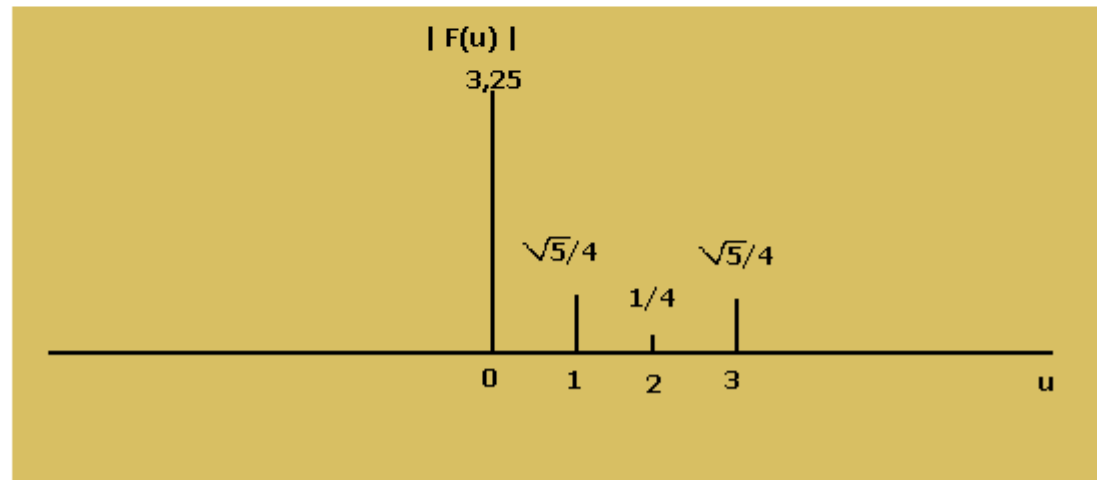
# EXEMPLO

$$|F(0)| = 3,25$$

$$|F(2)| = \left[ \left( \frac{1}{4} \right)^2 \right]^{1/2} = \frac{1}{4}$$

$$|F(1)| = \left[ \left( \frac{2}{4} \right)^2 + \left( \frac{1}{4} \right)^2 \right]^{1/2} = \frac{\sqrt{5}}{4}$$

$$|F(3)| = \left[ \left( \frac{2}{4} \right)^2 + \left( \frac{1}{4} \right)^2 \right]^{1/2} = \frac{\sqrt{5}}{4}$$



# EXEMPLO: DFT INVERSA

$$f(x) = \sum_{u=0}^{N-1} F(u) \exp[j2\pi ux / N]$$

$$\begin{aligned} f(0) &= \sum_{u=0}^3 F(u) \exp[0] \\ &= F(0) + F(1) + F(2) + F(3) \\ &= 3,25 + \frac{1}{4}(-2 + j) - \frac{1}{4} - \frac{1}{4}(2 + j) \\ &= 3,25 - \left(\frac{1}{2}\right) + \left(\frac{1}{4}j\right) - \left(\frac{1}{4}\right) - \left(\frac{1}{2}\right) - \left(\frac{1}{4}j\right) \\ &= 3,25 - 1,25 \\ &= 2 \end{aligned}$$

$$\begin{aligned} f(1) &= \sum_{u=0}^3 F(u) \exp[j2\pi u / 4] \\ &= 3,25e^0 + \frac{\sqrt{5}}{4}e^{j\frac{\pi}{2}} + \frac{1}{4}e^{j\pi} + \frac{\sqrt{5}}{4}e^{j\frac{3\pi}{2}} \\ &= 3,25 + \frac{1}{4} \left[ \sqrt{5} \left( \cos \frac{\pi}{2} + j \sin \frac{\pi}{2} \right) + (\cos \pi + j \sin \pi) + \sqrt{5} \left( \cos \frac{3\pi}{2} + j \sin \frac{3\pi}{2} \right) \right] \\ &= 3,25 + \frac{1}{4} \left[ \sqrt{5}(0 + j) + (-1 + j0) + \sqrt{5}(0 - j) \right] \\ &= 3,25 - 0,25 \\ &= 3 \end{aligned}$$

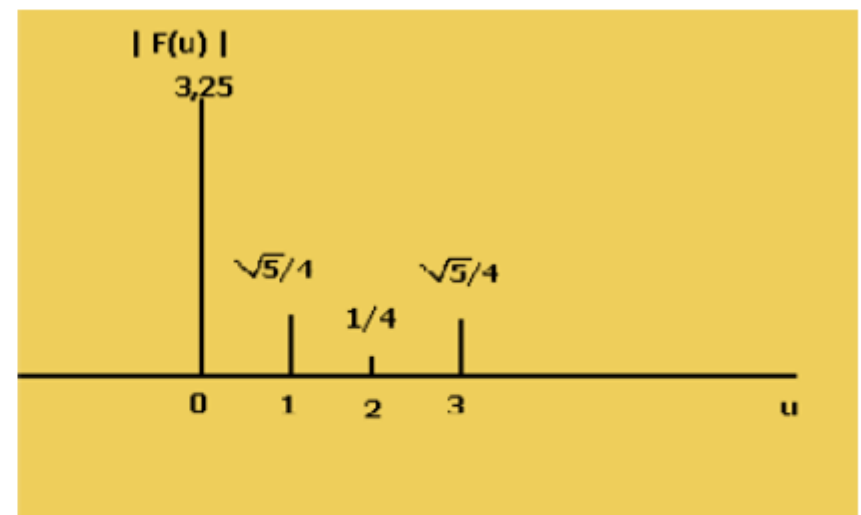
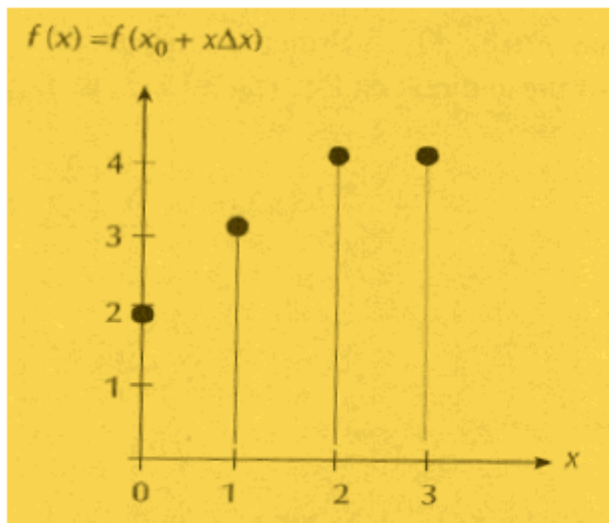
$$f(2) = 4$$

$$f(3) = 4$$



# EXEMPLO

As duas representações da função podem ser obtidas uma da outra, com o mesmo número de amostras, sendo uma no domínio do tempo e outra no domínio da frequência



# TRANSFORMADA DISCRETA DE FOURIER (DFT) 2D

- Filtragem para uma função  $f(u,v)$
- Imagem de tamanho  $M \times N$ :
- DFT:

$$\begin{aligned} G(m, n) &= \frac{1}{\sqrt{MN}} \sum_{u=0}^{M-1} \sum_{v=0}^{N-1} g(u, v) \cdot e^{-i2\pi \frac{mu}{M}} \cdot e^{-i2\pi \frac{nv}{N}} \\ &= \frac{1}{\sqrt{MN}} \sum_{u=0}^{M-1} \sum_{v=0}^{N-1} g(u, v) \cdot e^{-i2\pi (\frac{mu}{M} + \frac{nv}{N})} \end{aligned}$$

- DFT Inversa:

$$\begin{aligned} g(u, v) &= \frac{1}{\sqrt{MN}} \sum_{m=0}^{M-1} \sum_{n=0}^{N-1} G(m, n) \cdot e^{i2\pi \frac{mu}{M}} \cdot e^{i2\pi \frac{nv}{N}} \\ &= \frac{1}{\sqrt{MN}} \sum_{m=0}^{M-1} \sum_{n=0}^{N-1} G(m, n) \cdot e^{i2\pi (\frac{mu}{M} + \frac{nv}{N})} \end{aligned}$$

# PROPRIEDADES DA TRANSFORMADA DE FOURIER

- Propriedade da Periodicidade e Simetria do Conjugado

$$F(u, v) = F(u + M, v + N) = F^*(-u, -v) \quad \Rightarrow \quad |F(u, v)| = |F(-u, -v)|$$

# SIMETRIA

- Periodicidade e Simetria Conjugada:

$$F(u, v) = F(u + M, v + N) = F^*(-u, -v) \quad \Rightarrow \quad |F(u, v)| = |F(-u, -v)|$$

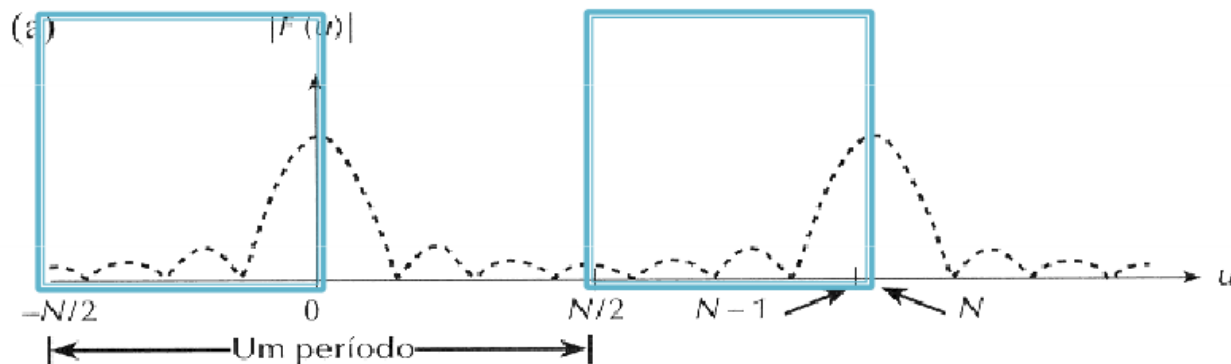
- A transformada é formulada para valores de  $u$  no intervalo  $[0, 1]$

$$F(u) = F(u + N)$$

Magnitude centrada na origem

$$|F(u)| = |F(-u)|$$

Reflexões



# TRANSLAÇÃO

- Multiplicar  $g(x)$  pelo termo exponencial, e fazer a transformada desse produto, resulta num deslocamento da origem do plano das frequências para o ponto  $(u,v)$

$$f(x, y) \exp[i2\pi(u_0x + v_0y)/N] \Leftrightarrow F(u - u_0, v - v_0)$$

Exemplo:

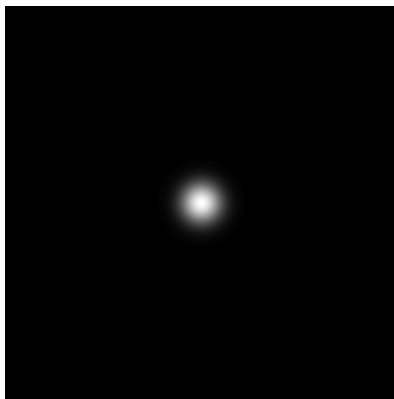
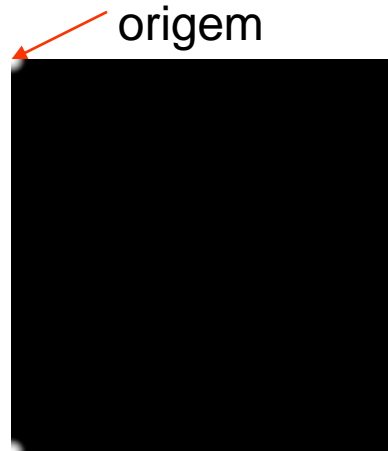
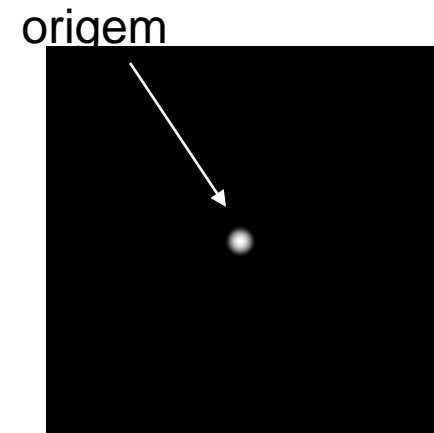


Imagem Original



Transformada  
sem deslocamento



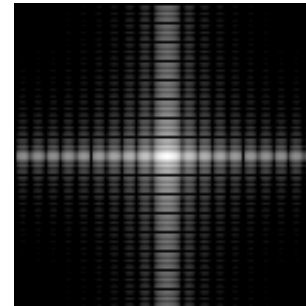
Transformada com  
origem no centro  
da matriz

# ROTAÇÃO

- A rotação de  $f(x,y)$  de um ângulo  $\theta$  implicará em uma rotação de  $F(u,v)$  deste mesmo ângulo

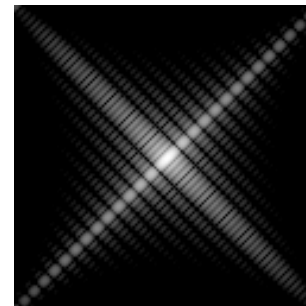
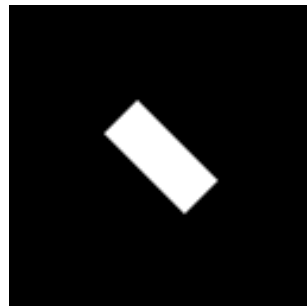
$$f(r, \theta + \theta_0) \Leftrightarrow F(\omega, \phi + \theta_0)$$

Imagem  
original



Espectro

Imagem  
rotacionada



Espectro  
resultante

# CONVOLUÇÃO

Sejam

$F(u, v)$  a transformada de Fourier de  $f(x, y)$ , isto é,

$$f(x, y) \Leftrightarrow F(u, v)$$

e  $H(u, v)$  a transformada de Fourier de  $h(x, y)$ , isto é,

$$h(x, y) \Leftrightarrow H(u, v)$$


então vale a relação

$$\begin{aligned} f(x, y) * h(x, y) &\Leftrightarrow F(u, v) H(u, v) \\ f(x, y) h(x, y) &\Leftrightarrow F(u, v) * H(u, v) \end{aligned}$$

O símbolo  $\Leftrightarrow$  indica que a expressão do lado esquerdo pode ser obtida pela transformada inversa de Fourier da expressão do lado direito, e vice-versa.


**A Função de Transferência  $H(u, v)$  usada na filtragem no domínio da frequência é (quase) a transformada de Fourier da máscara  $h(x, y)$  usada nos filtros lineares espaciais.**

# OUTRAS PROPRIEDADES

•Distributividade:   $\mathfrak{I}\{f_1(x, y) + f_2(x, y)\} = \mathfrak{I}\{f_1(x, y)\} + \mathfrak{I}\{f_2(x, y)\}$

$$\mathfrak{I}\{f_1(x, y) \cdot f_2(x, y)\} \neq \mathfrak{I}\{f_1(x, y)\} \cdot \mathfrak{I}\{f_2(x, y)\}$$

•Escala:   $af(x, y) \Leftrightarrow aF(u, v)$

•Similaridade:   $f(ax, by) \Leftrightarrow \frac{1}{|ab|} F(u/a, v/b)$

•Valor Médio:   $\bar{f}(x, y) = \frac{1}{N} F(0, 0)$

depende da implementação



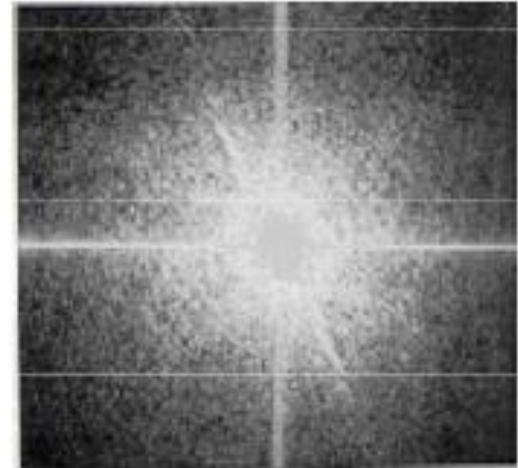
# MAGNITUDE X FASE

O que é mais importante?



MÓDULO:

Amplitude de  
cada onda 2D



FASE:

Direção de  
cada onda 2D

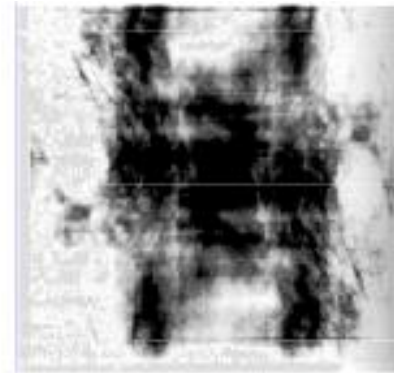


# MAGNITUDE X FASE



MÓDULO:

Amplitude de  
cada onda 2D



Transformação inversa  
utilizando só o MÓDULO

FASE:

Direção de  
cada onda 2D



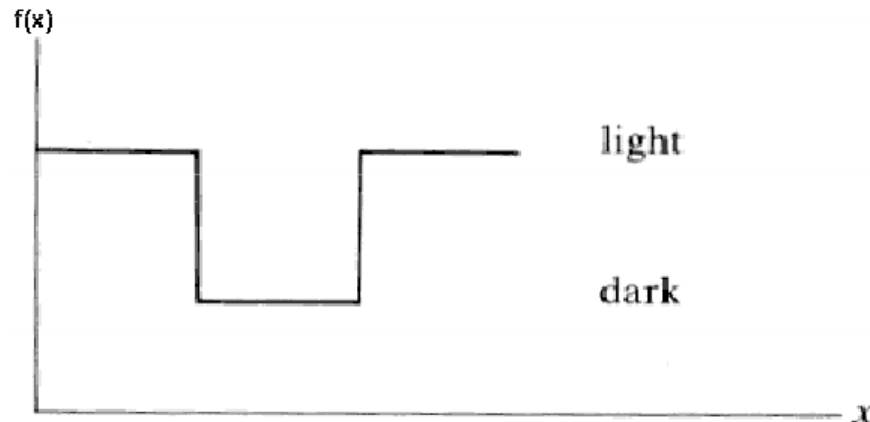
Transformação inversa  
utilizando só a FASE

# REPRESENTAÇÃO DE UMA IMAGEM

Uma linha de uma imagem formada por uma sequência de pixels de diferentes intensidades:



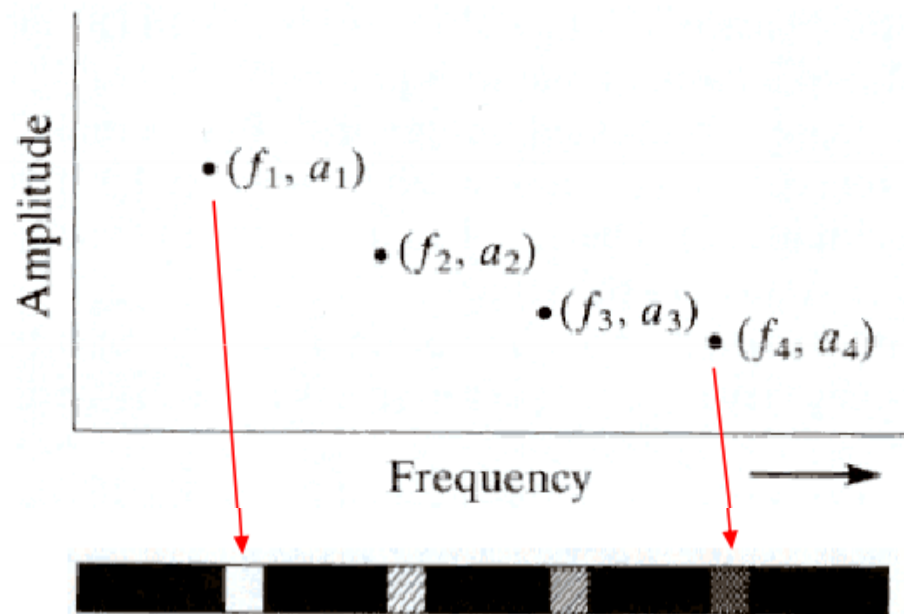
Pode ser representada no domínio do espaço como uma forma de onda:





# DOMÍNIO DA FREQUENCIA

- E no Domínio da Frequência pode ser representada por uma soma de senos e cossenos, através de suas frequências ( $f$ ) e amplitudes ( $a$ ):



- Que podem ser colocadas no formato de uma imagem como uma linha de amplitudes em escala de cinza

# **DOMÍNIO DA FREQUENCIA**

- Para uma função unidimensional, o espectro de Fourier fornece informação (frequência, amplitude e fase) sobre as senóides (1D) que devem ser somadas para formar a função desejada
- Para uma função bidimensional, o espectro de Fourier fornece informação (frequência, amplitude, fase e direção) sobre as ondas senoidais (2D) que devem ser somadas para formar a função desejada.

# TRANSFORMADA DE FOURIER

- **Espectro de Fourier:**

$$|F(u, v)| = \left[ R^2(u, v) + I^2(u, v) \right]^{1/2}$$

- **Fase:**

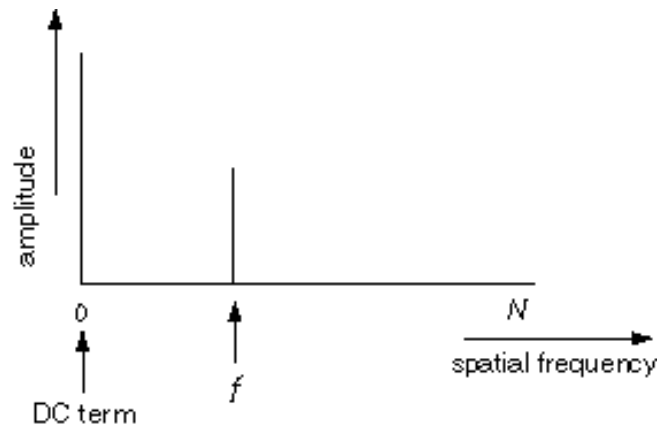
$$\phi(u, v) = \tan^{-1} [I(u, v) / R(u, v)]$$

- **Espectro de potência:**

$$P(u, v) = R^2(u, v) + I^2(u, v)$$

# TRANSFORMADA DE FOURIER

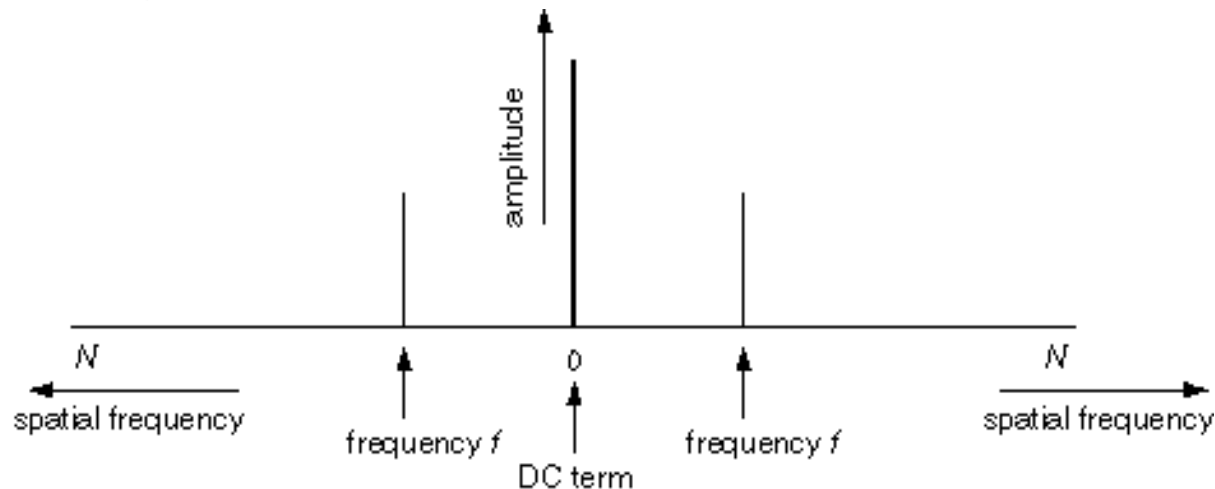
- O “termo DC” correspondente a frequência zero, representa a intensidade média ao longo de toda a imagem.
- Um termo zero DC poderia significar que a imagem apareceria se se adicionasse uma senoide alternada entre valores positivos e negativos na imagem média. Como não existe brilho negativo, todas as imagens reais têm um termo DC positivo.





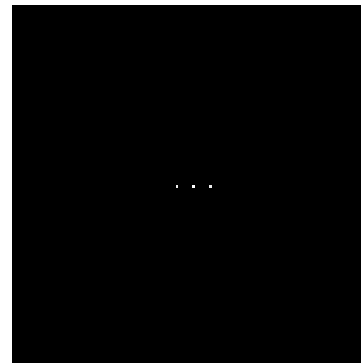
# TRANSFORMADA DE FOURIER

- O que foi mostrado anteriormente é a transformada Fourier de uma única linha de varredura da imagem sinusoidal, que é um sinal unidimensional.
- Uma transformada Fourier completa 2D desenvolve uma transformada 1D em cada linha da imagem, e outra transformada 1-D em cada coluna da imagem, produzindo uma transformada Fourier 2-D do mesmo tamanho da imagem original.



# TRANSFORMADA DE FOURIER

- Cada pixel da imagem da TF é um valor da frequência espacial, a magnitude daquele valor é codificado pelo brilho do pixel.
- Repare que há um pixel bem no centro - esse é o termo DC, ladeado por dois pixels, que codificam o padrão sinusoidal.
- Como tem apenas um componente Fourier nessa imagem, todos os outros valores na TF são zero e por isso mostrados em preto.



# TRANSFORMADA DE FOURIER

- O ponto central é o componente DC e os dois outros representam a frequência da função senoidal.
- Não há pixels na direção x, porque a imagem é uma constante (a mesma em qualquer nessa direção).



# TRANSFORMADA DE FOURIER

- Função senoidal com uma frequência maior.
- E seu espectro de Fourier: os dois pontos estão mais separados da origem, ou em uma maior frequência.

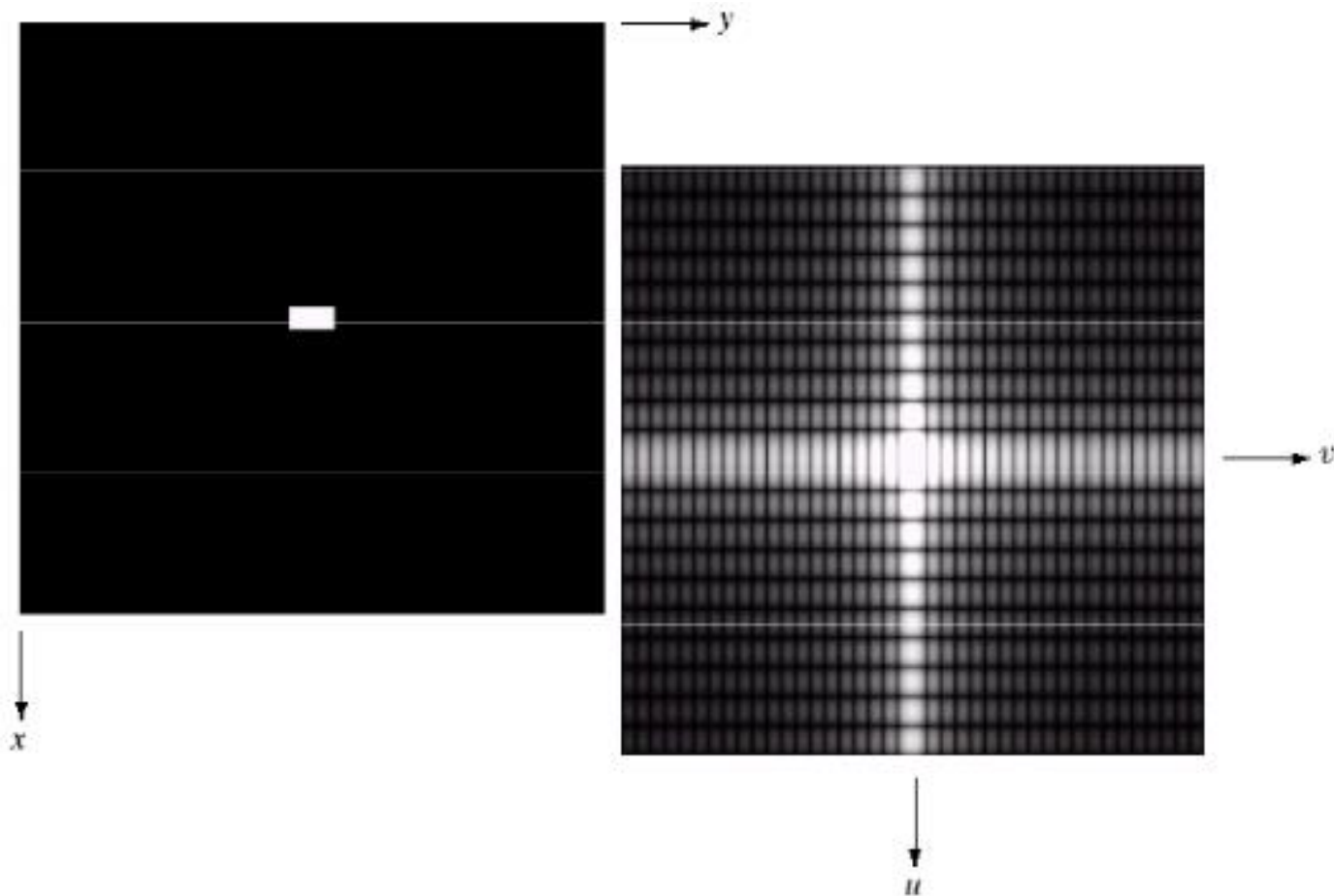


# TRANSFORMADA DE FOURIER

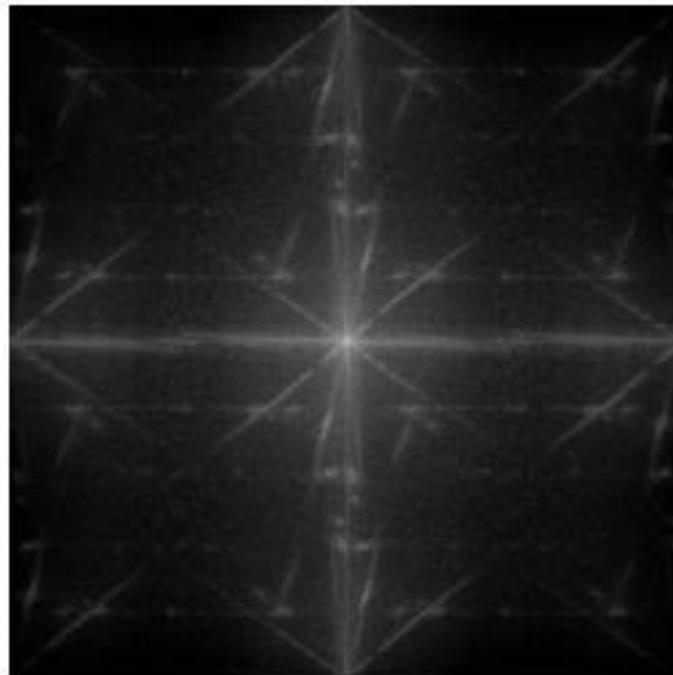
- Somado duas imagens senoidais uma em cima da outra, você não tem apenas um seno na direção y, assim o espectro dela não contém apenas dois pontos, mas uma linha.



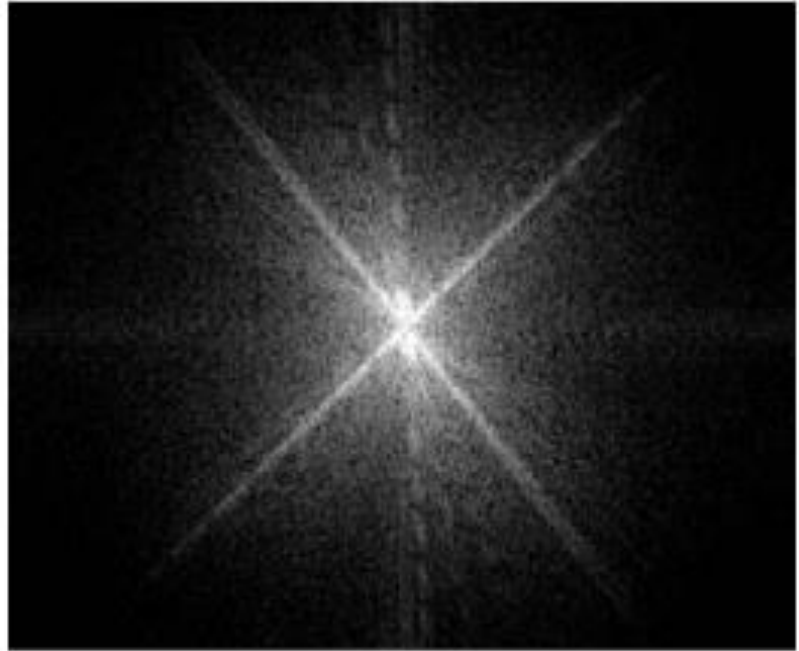
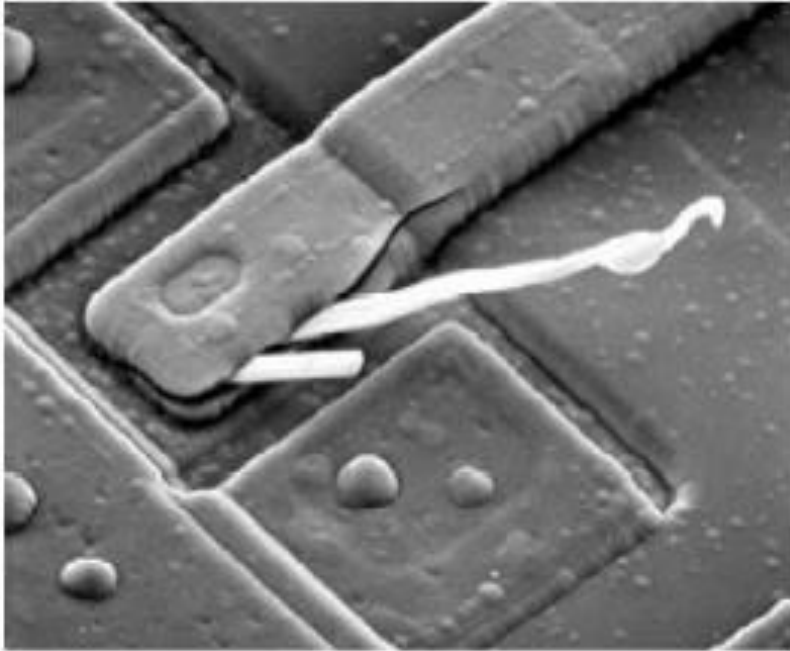
# ESPECTRO DE UMA IMAGEM



# ESPECTRO DE UMA IMAGEM



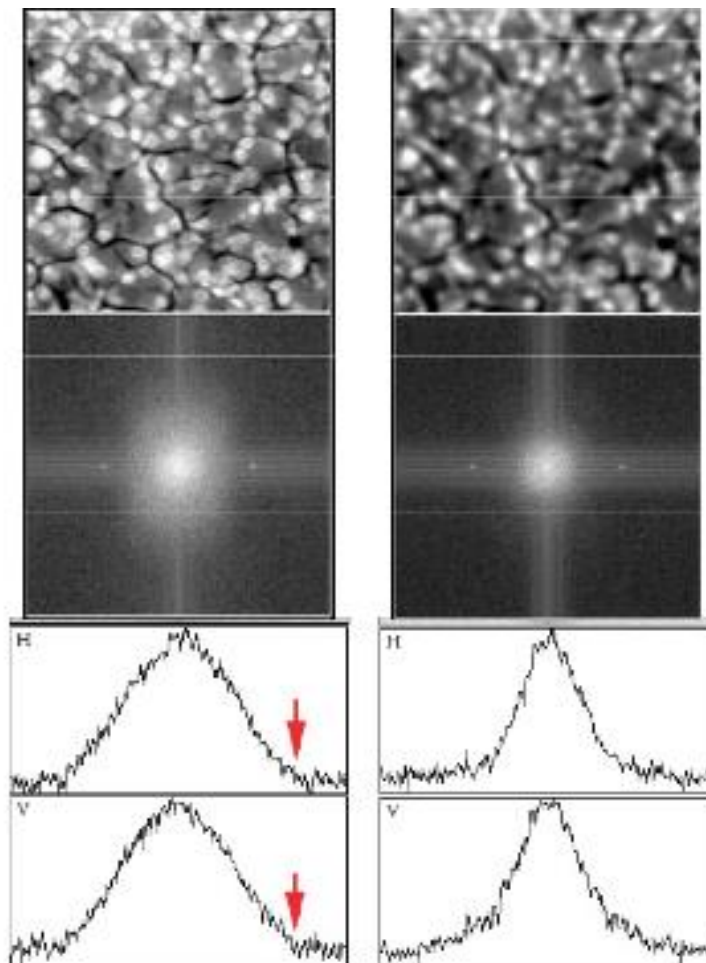
# ESPECTRO DE UMA IMAGEM





# ESPECTRO DE UMA IMAGEM

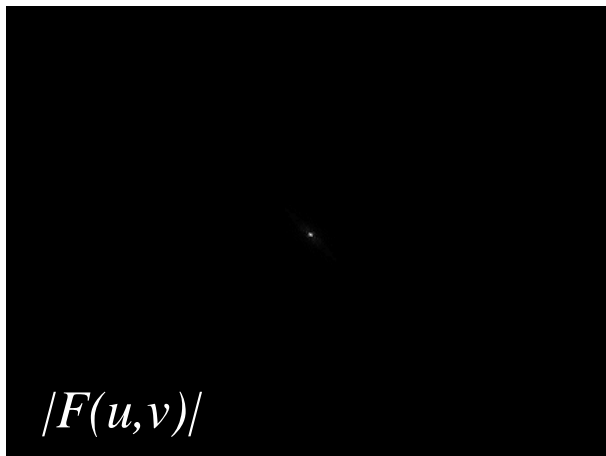
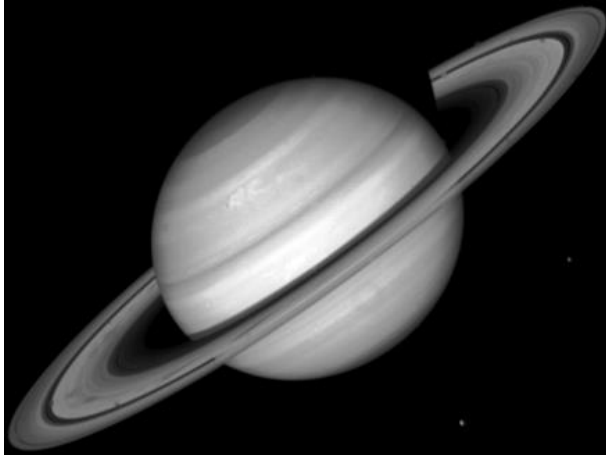
Alta resolução  
espacial: presença  
de componentes de  
alta frequência



Baixa resolução  
espacial: perda de  
componentes de  
alta frequência

# VISUALIZAÇÃO DA TRANSFORMADA EM 2D

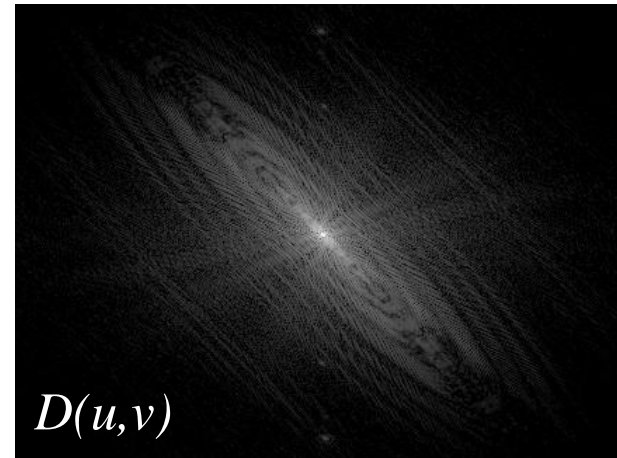
A transformada de Fourier Discreta bidimensional é frequentemente visualizada como uma função de intensidade. Para facilitar a visualização, ao invés de se apresentar  $|F(u,v)|$ , o que se apresenta é a função:



$$D(u,v) = c \log[1 + |F(u,v)|]$$

onde  $c$  é uma constante arbitrária.

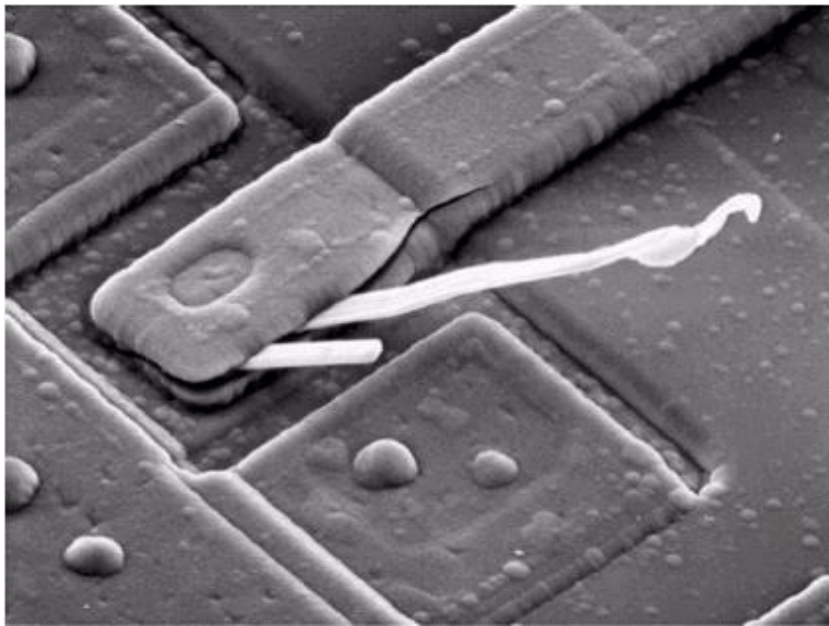
← **Exemplo**



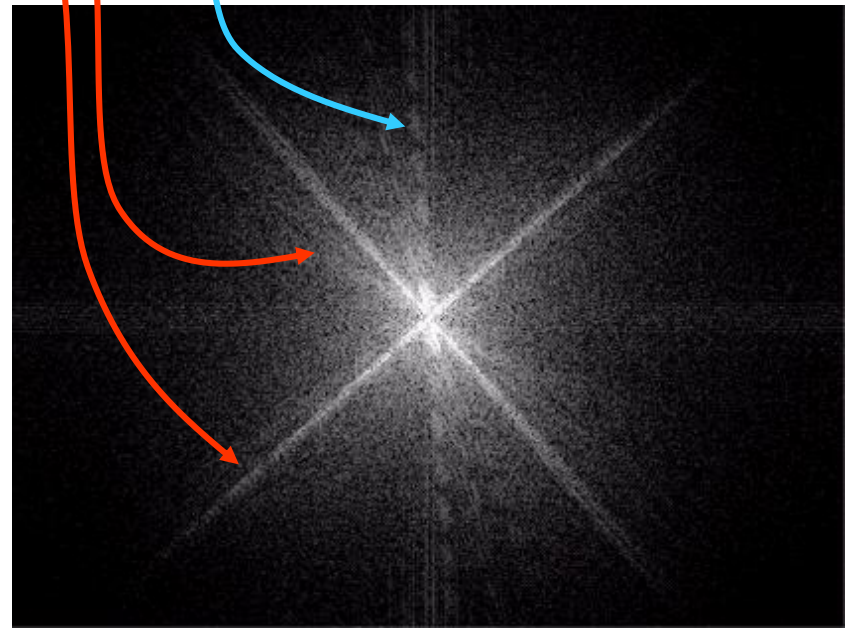
# RELAÇÕES ESPAÇO $\times$ FREQUÊNCIA

Características:

- bordas a  $\pm 45^\circ$
- duas incrustações de óxido



imagem

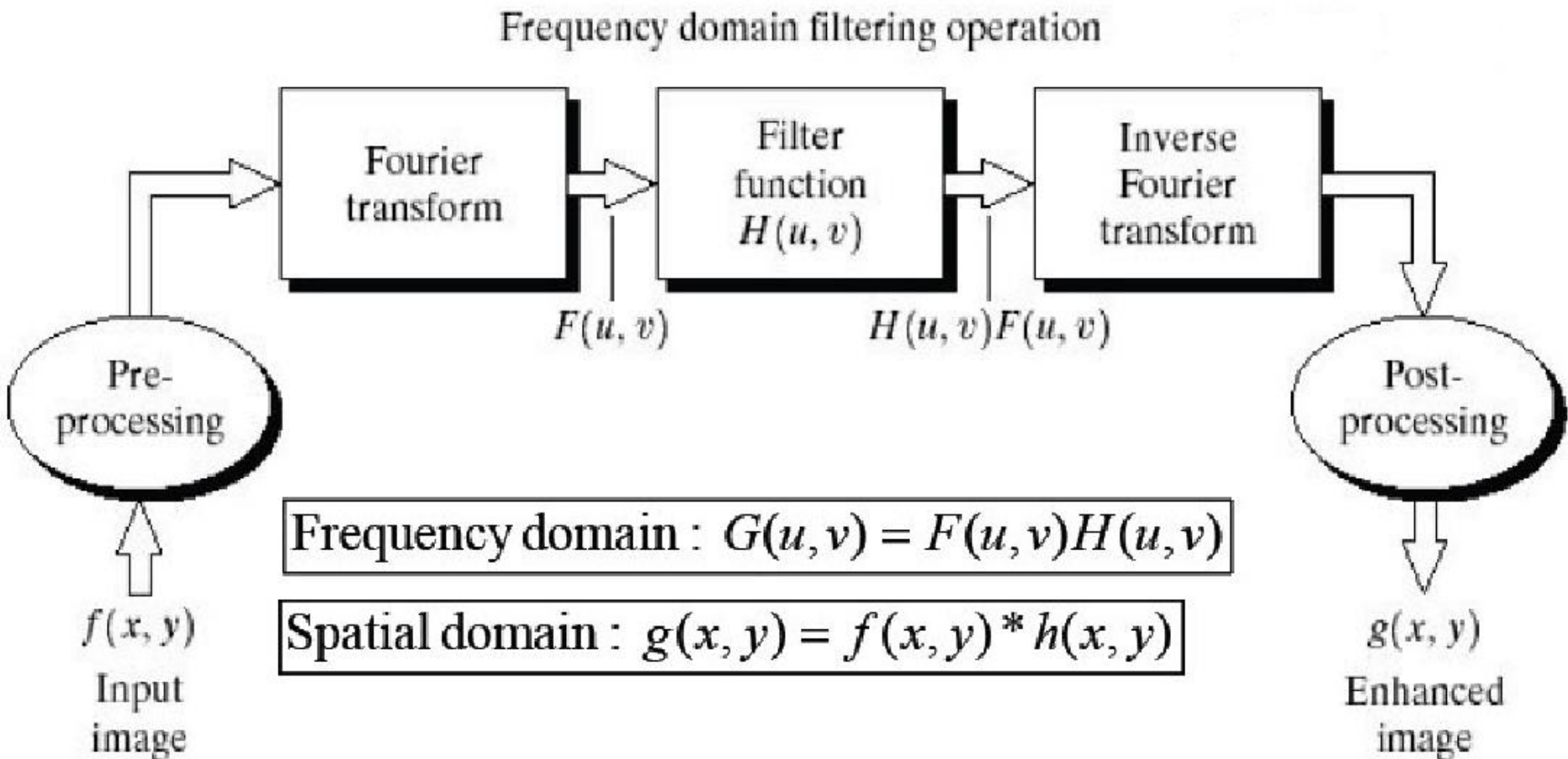


transformada

imagem microscópica de um circuito integrado

# **FILTRAGEM NO DOMÍNIO DA FREQUÊNCIA**

# FILTRAGEM NO DOMÍNIO DA FREQUÊNCIA



# FILTRAGEM NO DOMÍNIO DA FREQUÊNCIA

- **Procedimento:**

- Centrar a transformada, multiplicando a imagem por  $(-1)^{x+y}$   
Calcular  $F(u,v)$ , a transformada discreta de Fourier da imagem
- Multiplicar  $F(u,v)$  por uma função filtro  $G(u,v)$
- Calcular a transformada discreta inversa que produz a nova imagem realçada
- Obter a parte real
- Multiplicar o resultado por  $(-1)^{x+y}$
- Resumindo
  - $G(u,v) = H(u,v)F(u,v)$
  - Imagem filtrada  $\mathcal{F}^{-1}[G(u,v)]$

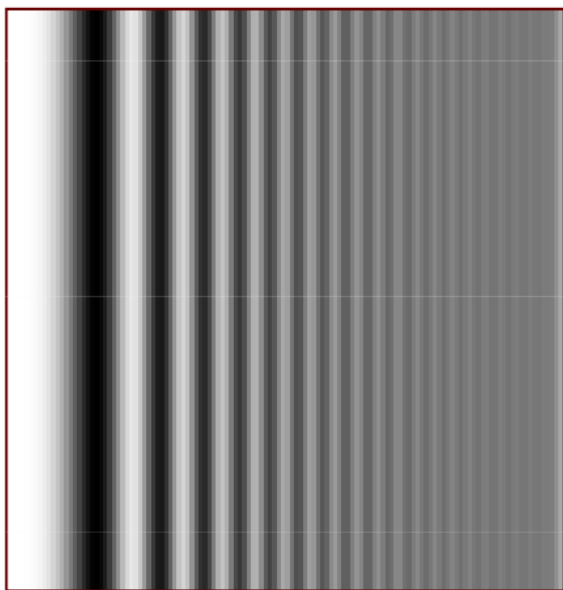
# FILTRAGEM NO DOMÍNIO DA FREQUÊNCIA

- **Filtros passa-baixa (suavização, borramento)**
  - Preserva as baixas frequências espaciais
  - Suprime as altas frequências espaciais
- **Filtros passa-alta (realce das bordas, aguçamento)**
  - Preserva as altas frequências espaciais
  - Suprime as baixas frequências espaciais
- **Filtros passa-faixa (restauração de imagens)**
  - Preserva frequências espaciais específicas
  - Suprime outras frequências espaciais

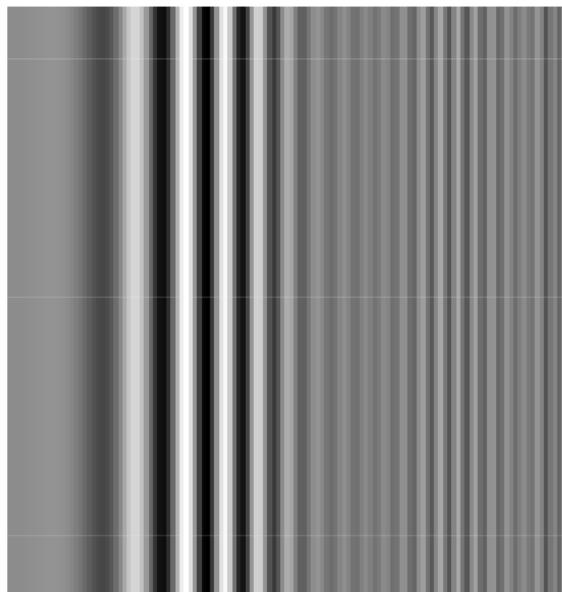
**Baixas frequências: área de suavização**

**Altas frequências: detalhes, como bordas e ruídos**

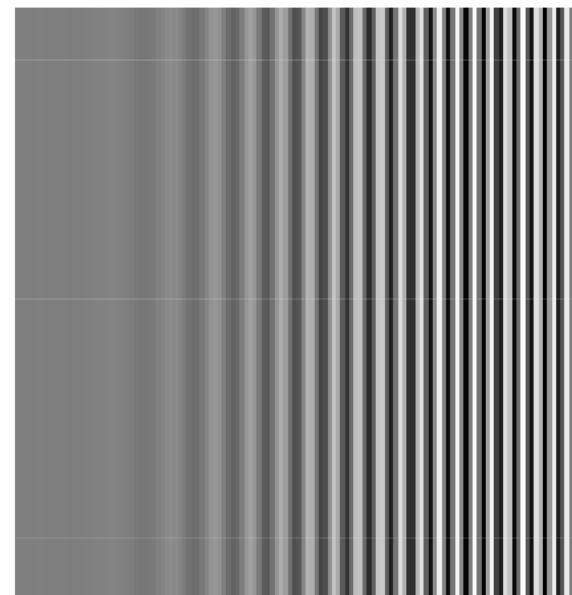
# FILTRAGEM NO DOMÍNIO DA FREQUÊNCIA



Filtro  
passa-baixa



Filtro  
passa-banda



Filtro  
passa-alta



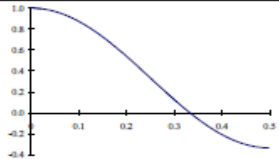
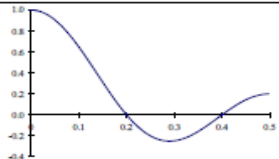
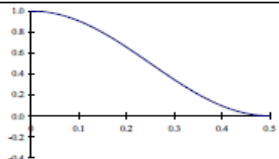
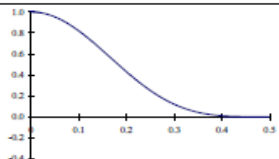
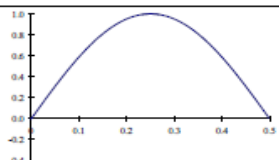
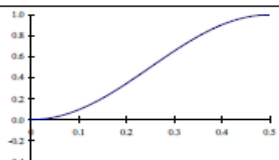
Name	Kernel	Transform	Plot
box-3	$\frac{1}{3} \begin{bmatrix} 1 & 1 & 1 \end{bmatrix}$	$\frac{1}{3}(1 + 2 \cos \omega)$	
box-5	$\frac{1}{5} \begin{bmatrix} 1 & 1 & 1 & 1 & 1 \end{bmatrix}$	$\frac{1}{5}(1 + 2 \cos \omega + 2 \cos 2\omega)$	
linear	$\frac{1}{4} \begin{bmatrix} 1 & 2 & 1 \end{bmatrix}$	$\frac{1}{2}(1 + \cos \omega)$	
binomial	$\frac{1}{16} \begin{bmatrix} 1 & 4 & 6 & 4 & 1 \end{bmatrix}$	$\frac{1}{4}(1 + \cos \omega)^2$	
Sobel	$\frac{1}{2} \begin{bmatrix} -1 & 0 & 1 \end{bmatrix}$	$\sin \omega$	
“Laplacian”	$\frac{1}{2} \begin{bmatrix} -1 & 2 & -1 \end{bmatrix}$	$\frac{1}{2}(1 - \cos \omega)$	

Table 3.3: Fourier transforms of the separable kernels shown in Figure 3.13.

# FILTRO IDEAL (PASSA-BAIXA)

- Um filtro ideal passa-baixa é definido por:

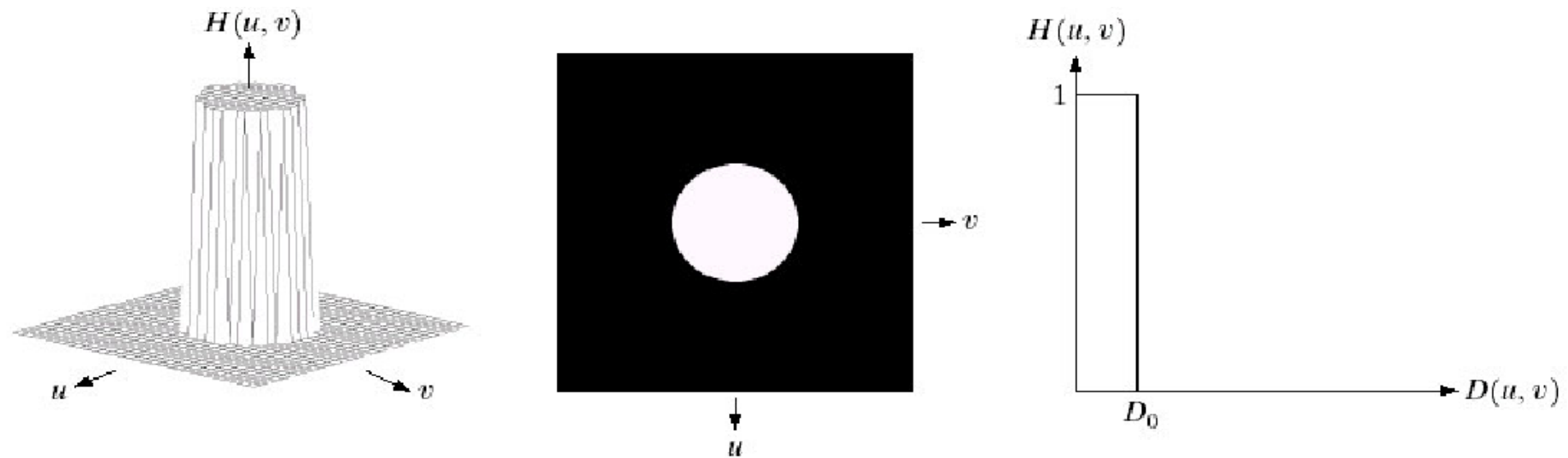
$$H(u, v) = \begin{cases} 1 & \text{se } D(u, v) \leq D_0 \\ 0 & \text{se } D(u, v) > D_0 \end{cases}$$

- Onde  $D_0$  é um valor não negativo específico e  $D(u, v)$  é a distância do ponto  $(u, v)$  à origem do plano da frequência:

$$D(u, v) = (u^2 + v^2)^{1/2}$$

- O centro do plano da frequência:  $(u, v) = (m/2, n/2)$

# FILTRO IDEAL (PASSA-BAIXA)



a b c

**FIGURE 4.10** (a) Perspective plot of an ideal lowpass filter transfer function. (b) Filter displayed as an image. (c) Filter radial cross section.

# **FILTRO IDEAL (PASSA-BAIXA)**

- Todas as frequências dentro do círculo de raio  $D_0$  são passadas sem atenuação
- Todas as frequências fora deste círculo são completamente atenuadas
- Frequência de corte: ponto de transição entre  $H(u,v)=1$  e  $H(u,v)=0$ , neste exemplo ela é definida por  $(D_0)$

# EFEITO OSCILATÓRIO (RINGING PROBLEM)

- Os filtros ideais possuem uma variação abrupta de valor na frequência resulta
- Surgimento do efeito Ringing (falsas bordas) no domínio espacial



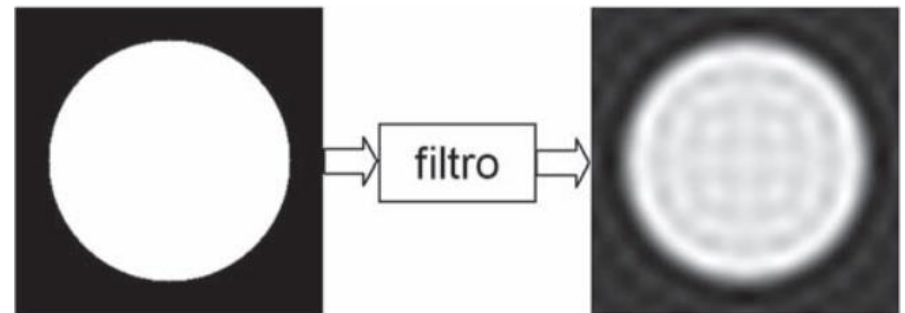
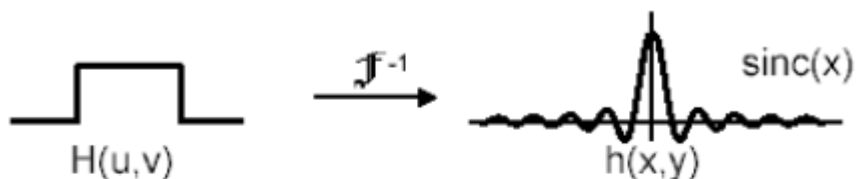
# EFEITO OSCILATÓRIO (RINGING PROBLEM)

## The Ringing Problem

$$G(u,v) = F(u,v) \cdot H(u,v)$$

Convolution Theorem

$$g(x,y) = f(x,y) * h(x,y)$$



$\uparrow D_0 \longrightarrow \downarrow$  Ringing radius + blur

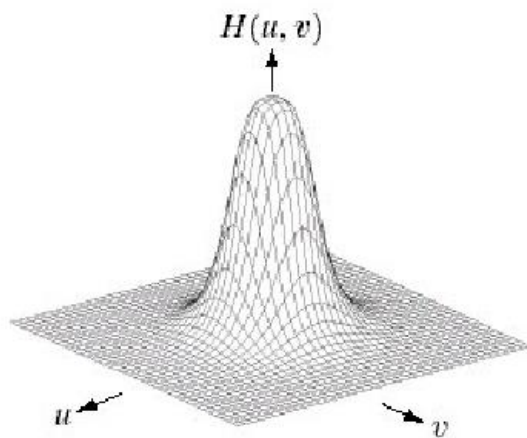
# EFEITO OSCILATÓRIO (RINGING PROBLEM)

- **Solução**
  - Usar filtros que possuem uma variação mais suave em torno das frequências de corte
- **Exemplos**
  - Filtro Butterworth
    - Corte mais abrupto em relação ao Gaussiano
    - Ainda apresenta ruído oscilatório
  - Filtro Gaussiano
    - Corte suave
    - Não apresenta ruído oscilatório

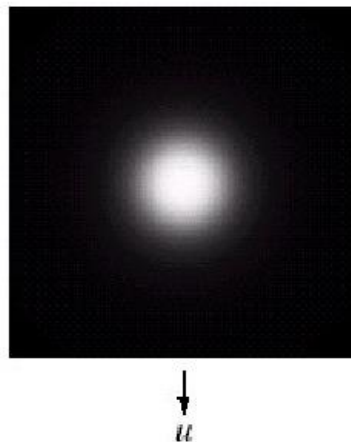
# FILTROS SUAVES PASSA-BAIXA

- Filtro de butterworth

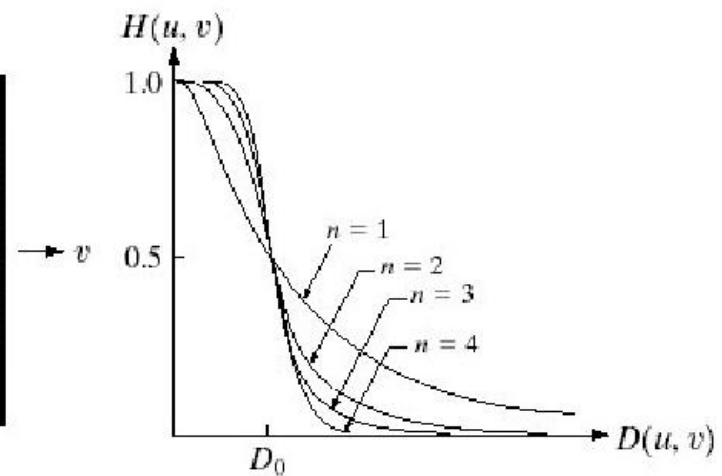
$$H(u, v) = \frac{1}{1 + [D(u, v) / D_0]^{2n}}$$



Função do Filtro



Filtro como imagem



Seção Radial de  
1 a 4



# FILTROS SUAVES

## PASSA-BAIXA

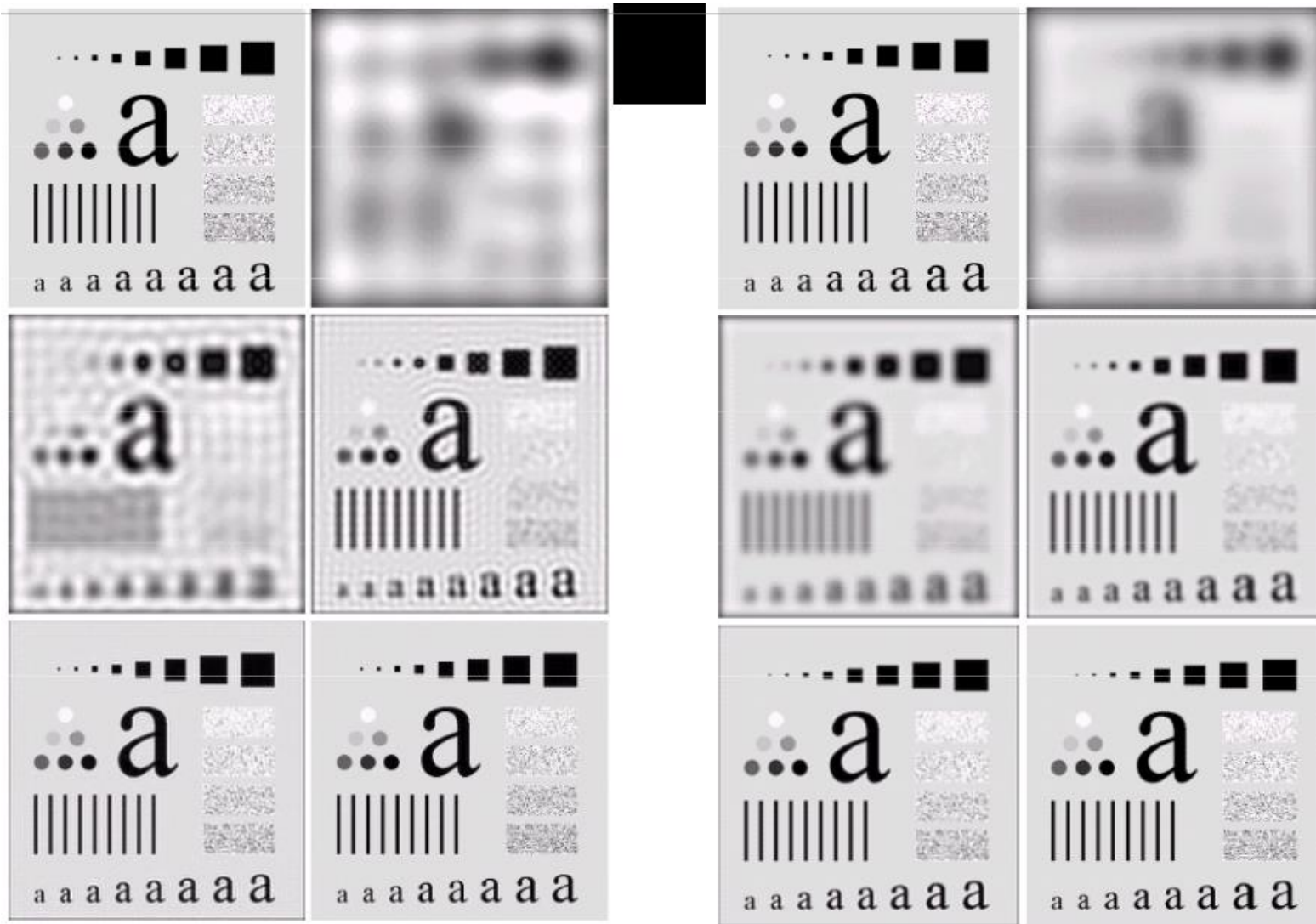
- **Filtro de butterworth:**

- A frequência de corte ( $D_0$ ) define o valor onde a amplitude do espectro é reduzida em 50%
- As altas-frequências são cada vez mais atenuadas na imagem a medida que são maiores que  $D_0$ , ou seja, o filtro possui transição mais suave que o filtro ideal
- O valor de  $n$  (ordem do filtro) determina a “suavidade” do filtro

# FILTROS SUAVES PASSA-BAIXA

Filtro PB Ideal

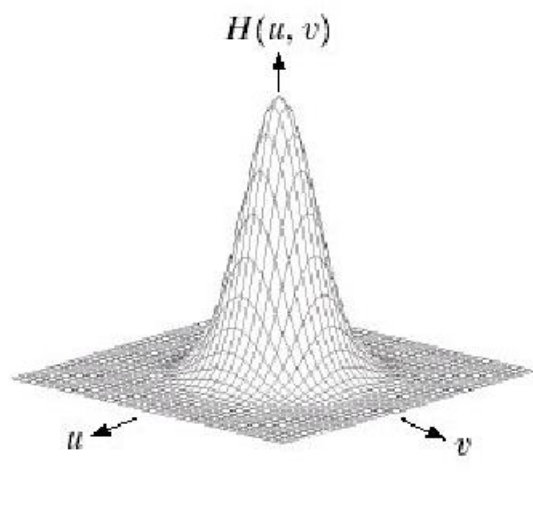
Filtro PB Butterworth



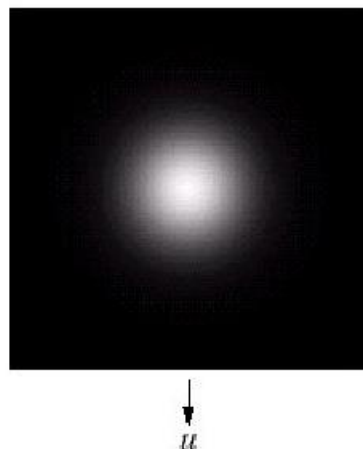
# FILTROS SUAVES PASSA-BAIXA

- Filtro Gaussiano:

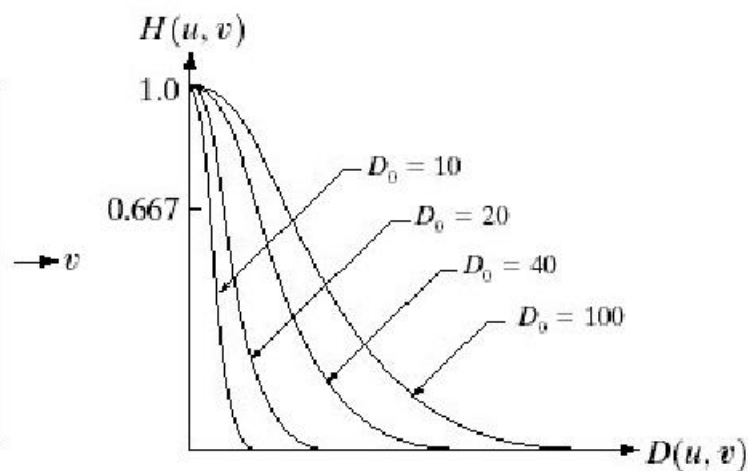
$$H(u, v) = e^{-D^2(u, v) / 2\sigma^2} = e^{-D^2(u, v) / 2D_0^2}$$



Função do Filtro



Filtro como imagem



Seção Radial de  
1 a 4

# FILTROS SUAVES

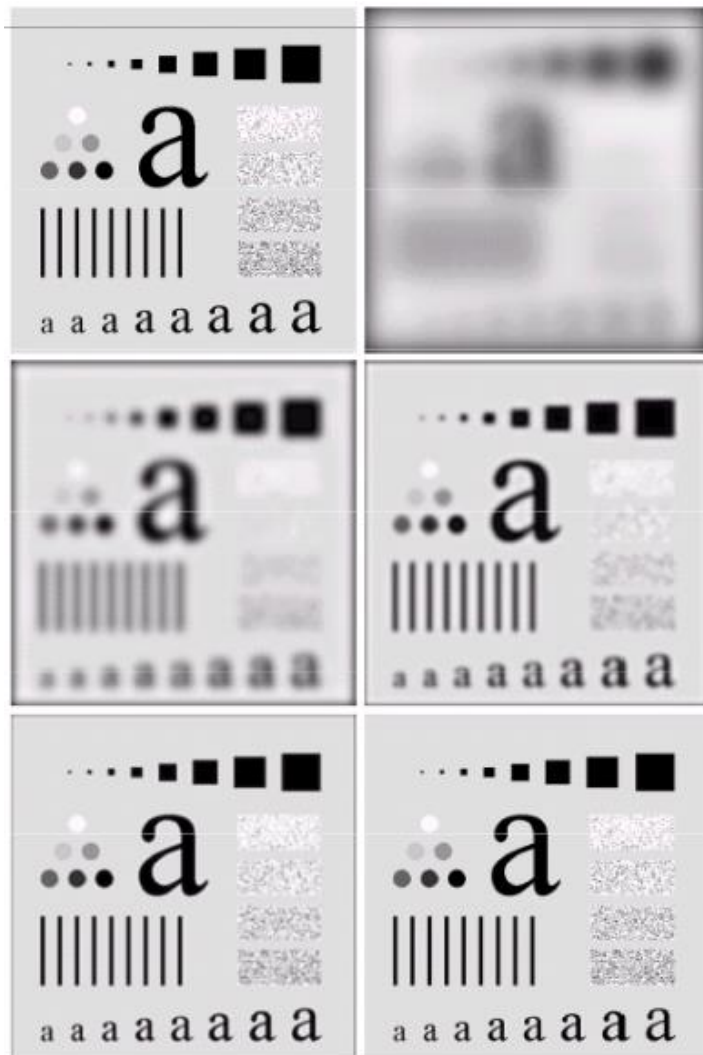
## PASSA-BAIXA

- **Filtro Gaussiano:**
  - A frequência de corte ( $D_0$ ) define o valor onde a amplitude do espectro é reduzida em 60,7%
  - Altas-frequências são cada vez mais atenuadas na imagem a medida que são maiores que  $D_0$ , ou seja, o filtro possui transição mais suave que o filtro ideal;
  - O filtro Gaussiano pode ser bem mais suave que o filtro Butterworth

# FILTROS SUAVES

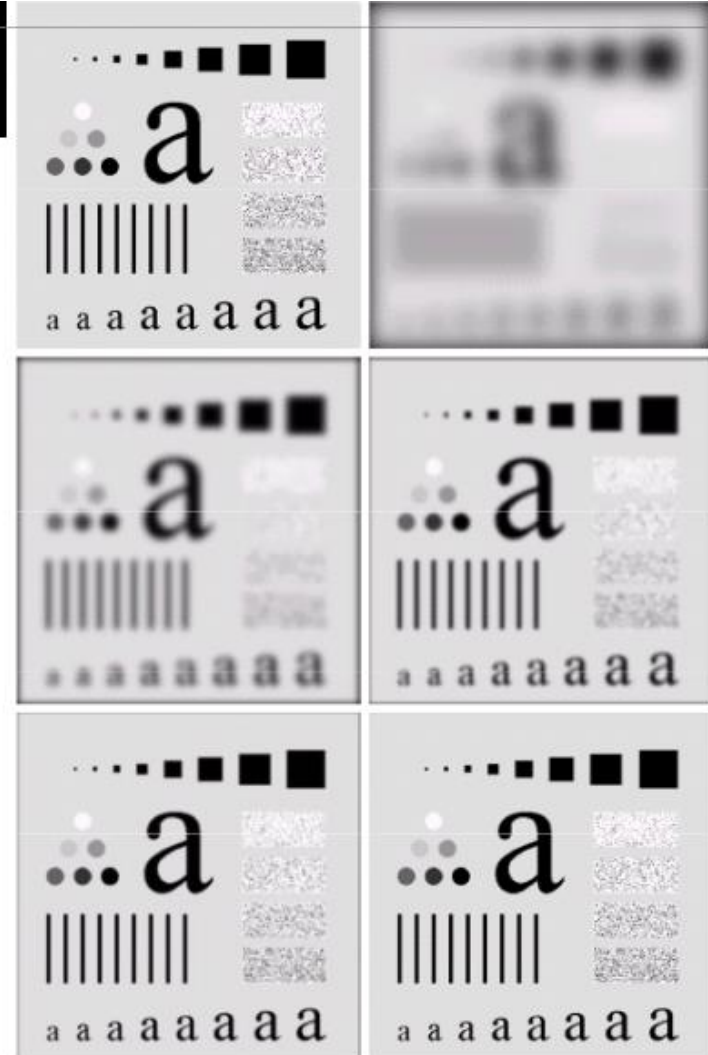
## PASSA-BAIXA

Filtro PB Butterworth



**FIGURE 4.15** (a) Original image. (b)–(f) Results of filtering with BLPFs of order 2, with cutoff frequencies at radii of 5, 15, 30, 80, and 230, as shown in Fig. 4.11(b). Compare with Fig. 4.12.

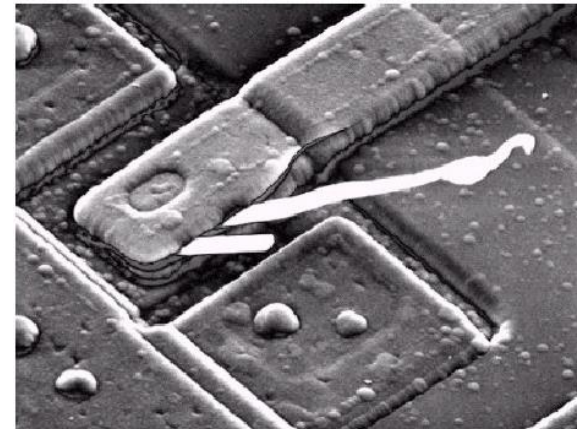
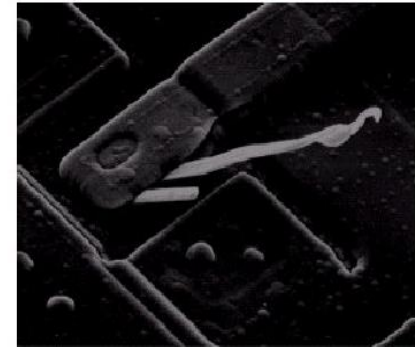
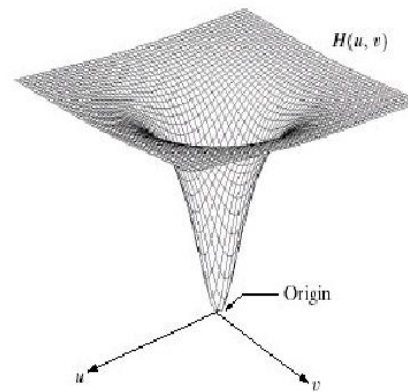
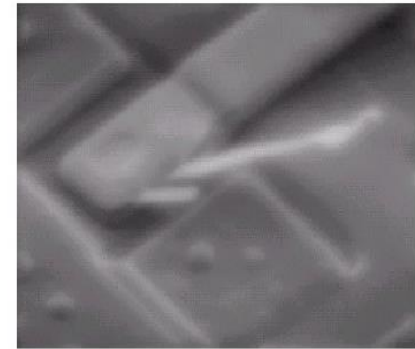
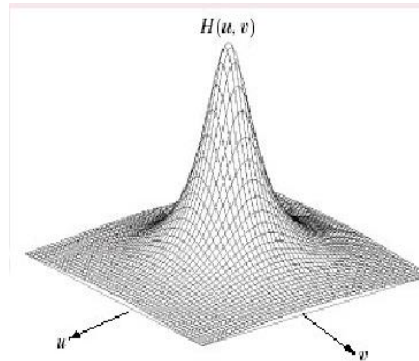
Filtro PB Gaussiano



**FIGURE 4.18** (a) Original image. (b)–(f) Results of filtering with Gaussian lowpass filters with cutoff frequencies set at radii values of 5, 15, 30, 80, and 230, as shown in Fig. 4.11(b). Compare with Figs. 4.12 and 4.15.

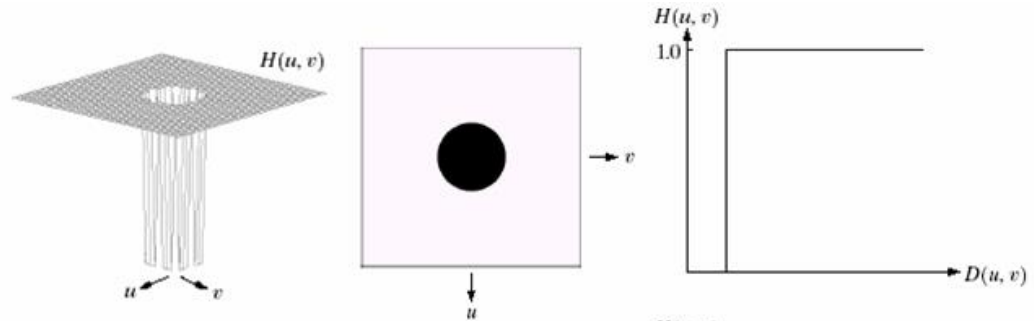
# FILTRO PASSA-ALTA

- Filtro passa-baixa
- Filtro passa-alta
- $H_{pa}(u,v)=1-H_{pb}(u,v)$
- Filtro passa-alta+ constante

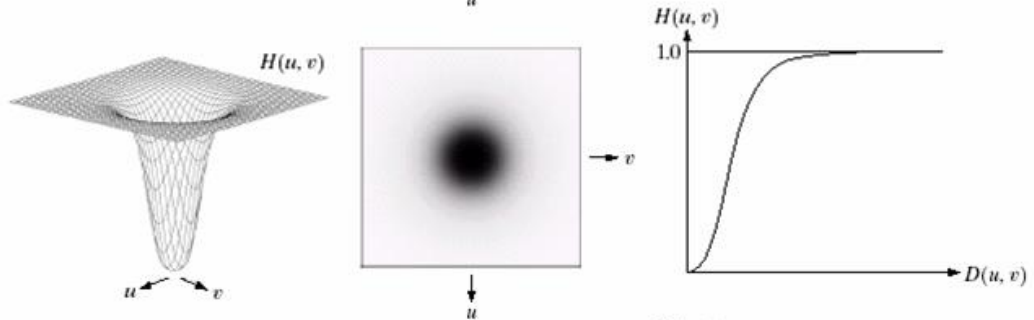


# FILTRO PASSA-ALTA

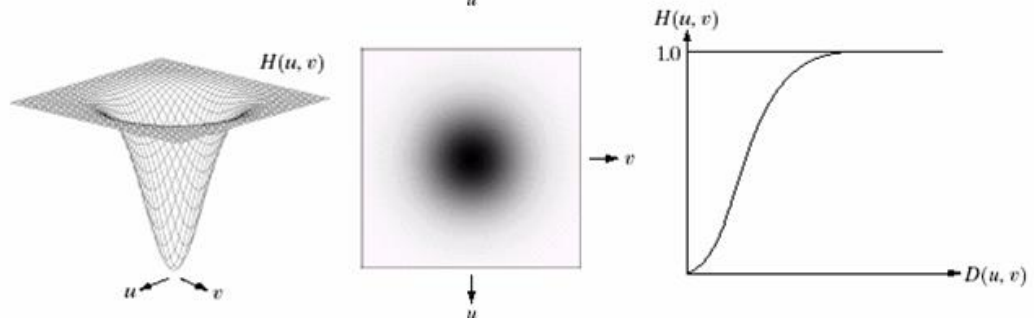
$$H_{fpai} = 1 - H_{fpbi}$$



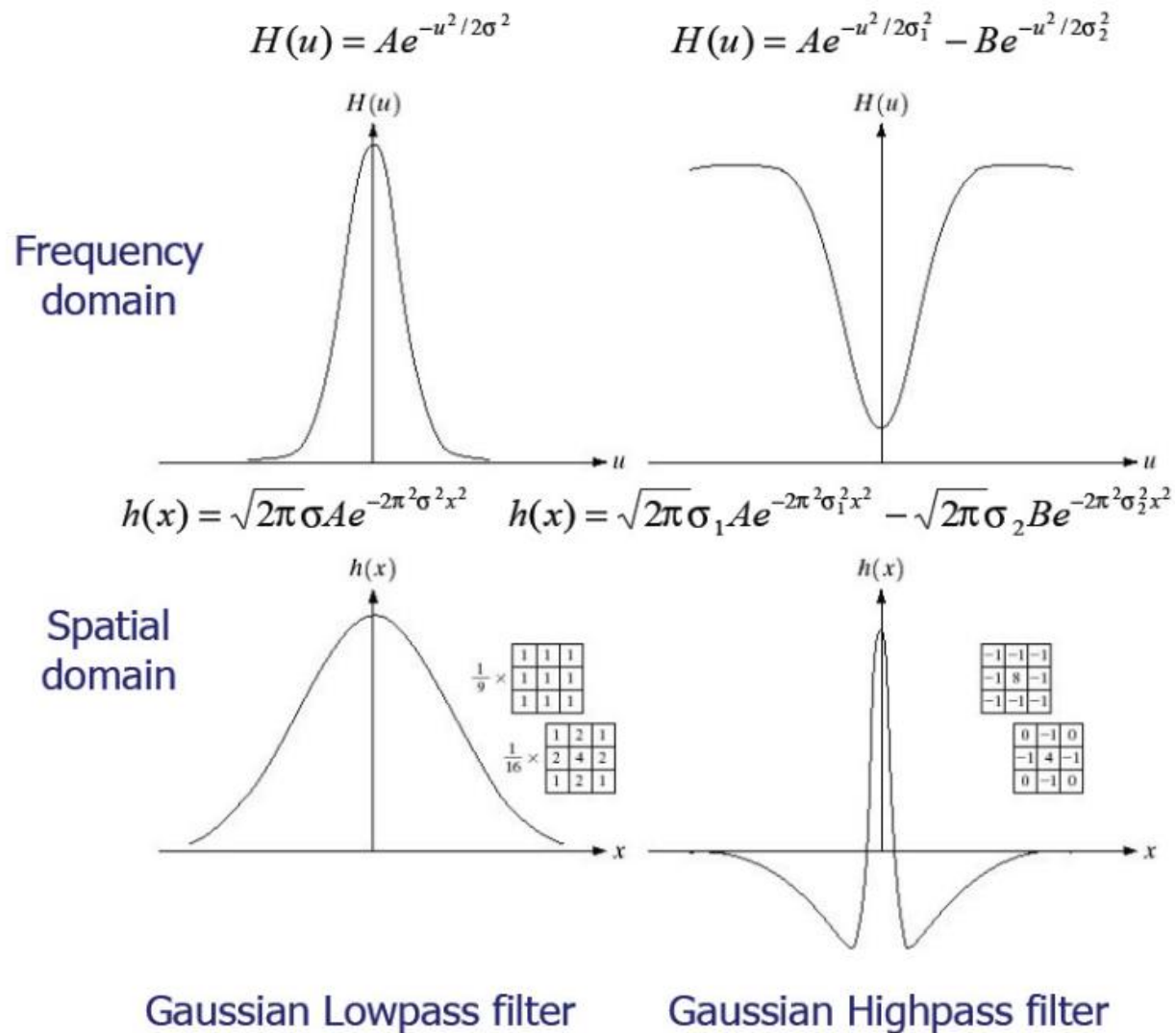
$$H_{fpab} = 1 - H_{fpbb}$$



$$H_{fpag} = 1 - H_{fpbg}$$



# FILTRO PASSA-ALTA





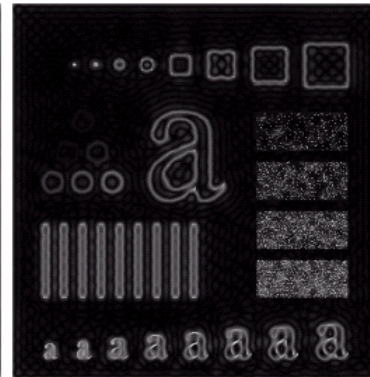
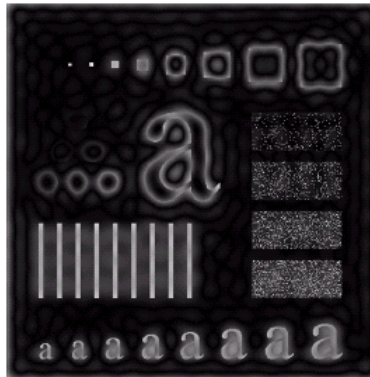
# FILTRO PASSA-ALTA

$$D_0 = 15$$

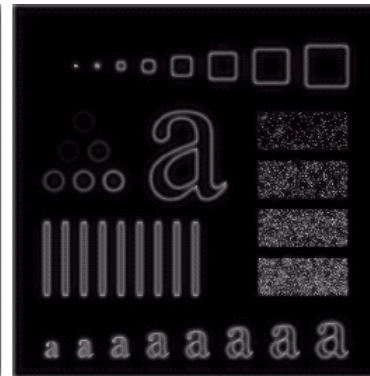
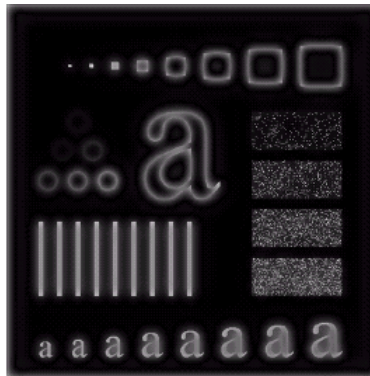
$$D_0 = 30$$

$$D_0 = 80$$

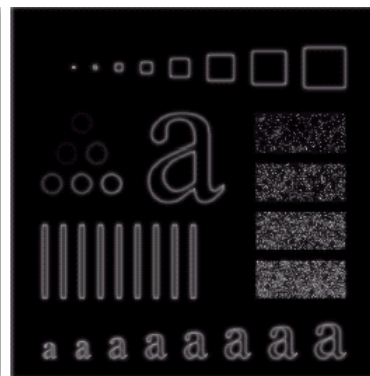
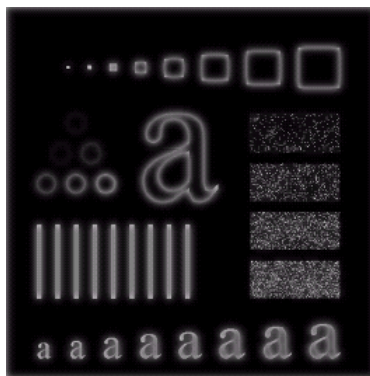
Passa-alta Ideal



Passa-alta Butterworth



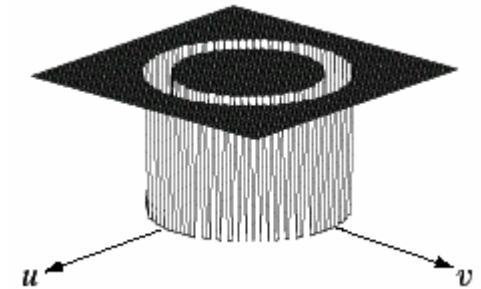
Passa-alta Gaussiano



# PASSA-FAIXA

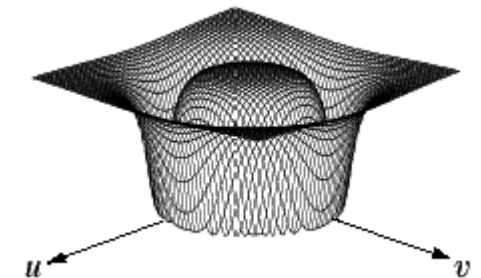
## Ideal

$$H(u, v) = \begin{cases} 1 & \text{se } D(u, v) < D_0 - W / 2 \\ 0 & \text{se } D_0 - W / 2 \leq D(u, v) \leq D_0 + W / 2 \\ 1 & \text{se } D(u, v) > D_0 + W / 2 \end{cases}$$



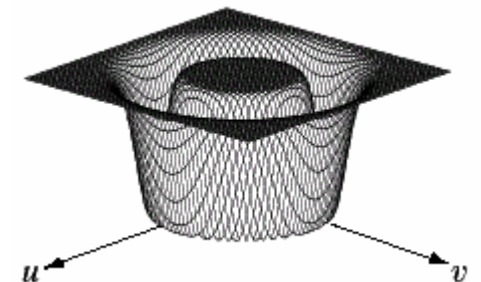
## Butterworth

$$H(u, v) = \frac{1}{1 + \left[ \frac{D(u, v)W}{D^2(u, v) - D_0^2} \right]^{2n}}$$



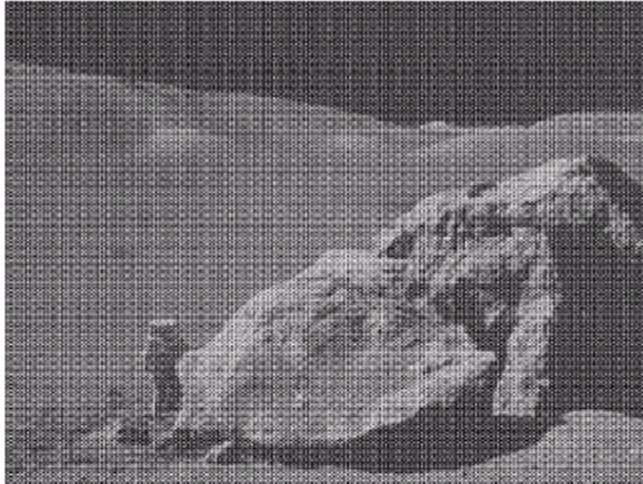
## Gaussiano

$$H(u, v) = 1 - e^{-\frac{1}{2} \left[ \frac{D^2(u, v) - D_0^2}{D(u, v)W} \right]^2}$$

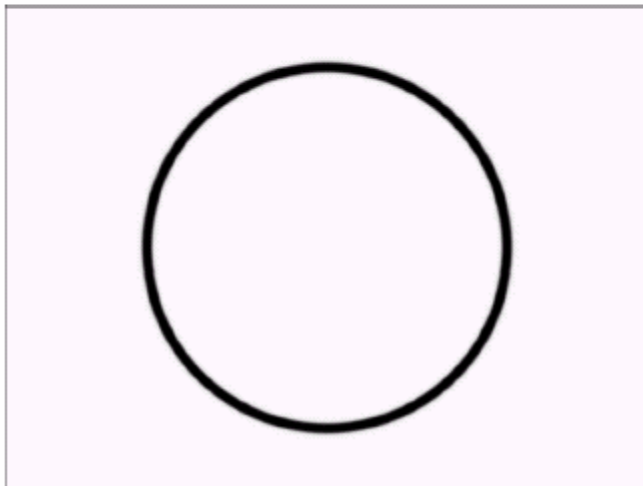


# PASSA-FAIXA

imagem com ruído senoidal



espectro da imagem



filtro rejeita-faixa de Butterworth



resultado da filtragem

# REFERÊNCIAS

- **C. Solomon e T. Breckon, Fundamentals of Digital Image Processing: A Practical Approach with Examples in Matlab, John Wiley & Sons, 2011**
- **W. Burger e M. J. Burge, Principles of Digital Image Processing: Core Algorithms, Springer, 2009**